

ТЕМА 2. ПОДЦАРСТВО ОДНОКЛЕТОЧНЫЕ – PROTOZOA

M E
T A
A Z
O A

P R
R O
T O
Z O
A

Eumetazoa

Parazoa

Mesozoa

Многоклеточность на
одной стадии цикла

Колониальность

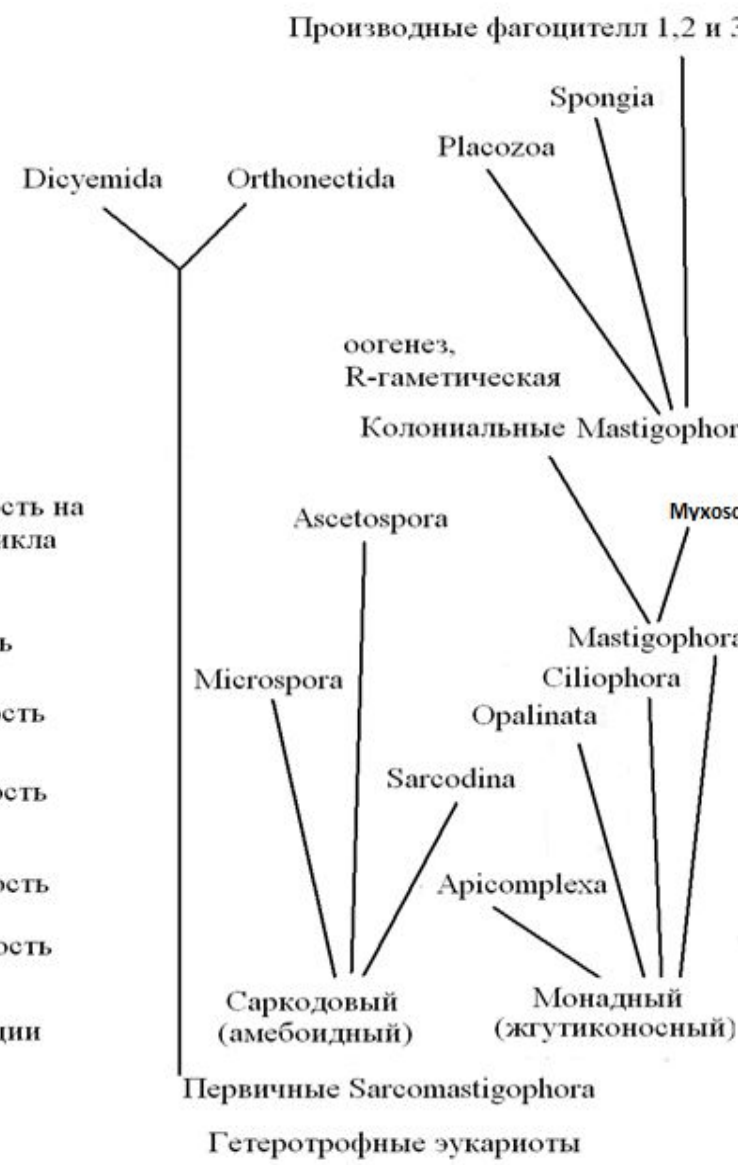
Полиэнергидность

полиплоидность

диплоидность

Моноэнергидность

Типы организации

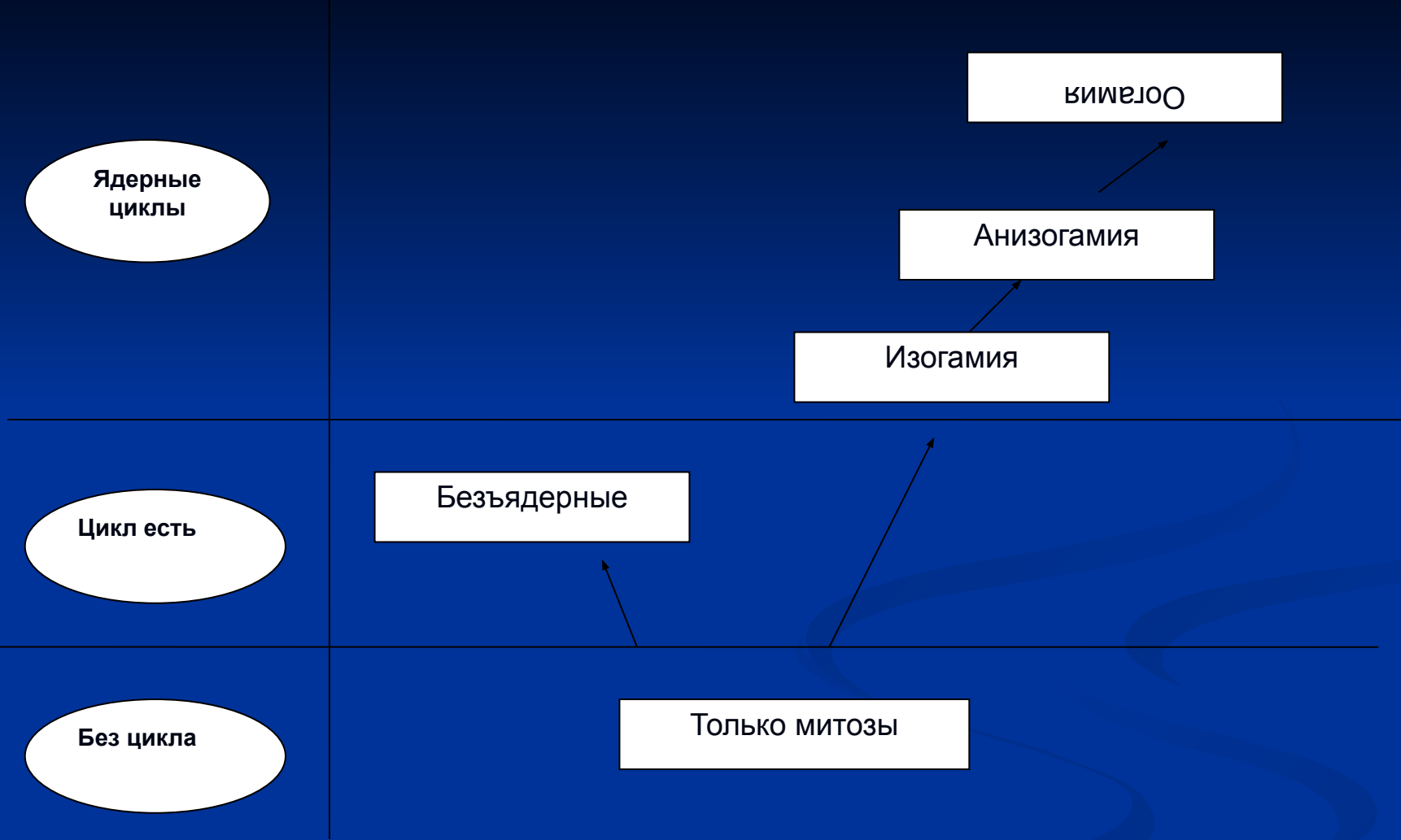


Уровни организаций и филогенетические связи одноклеточных животных Protozoa

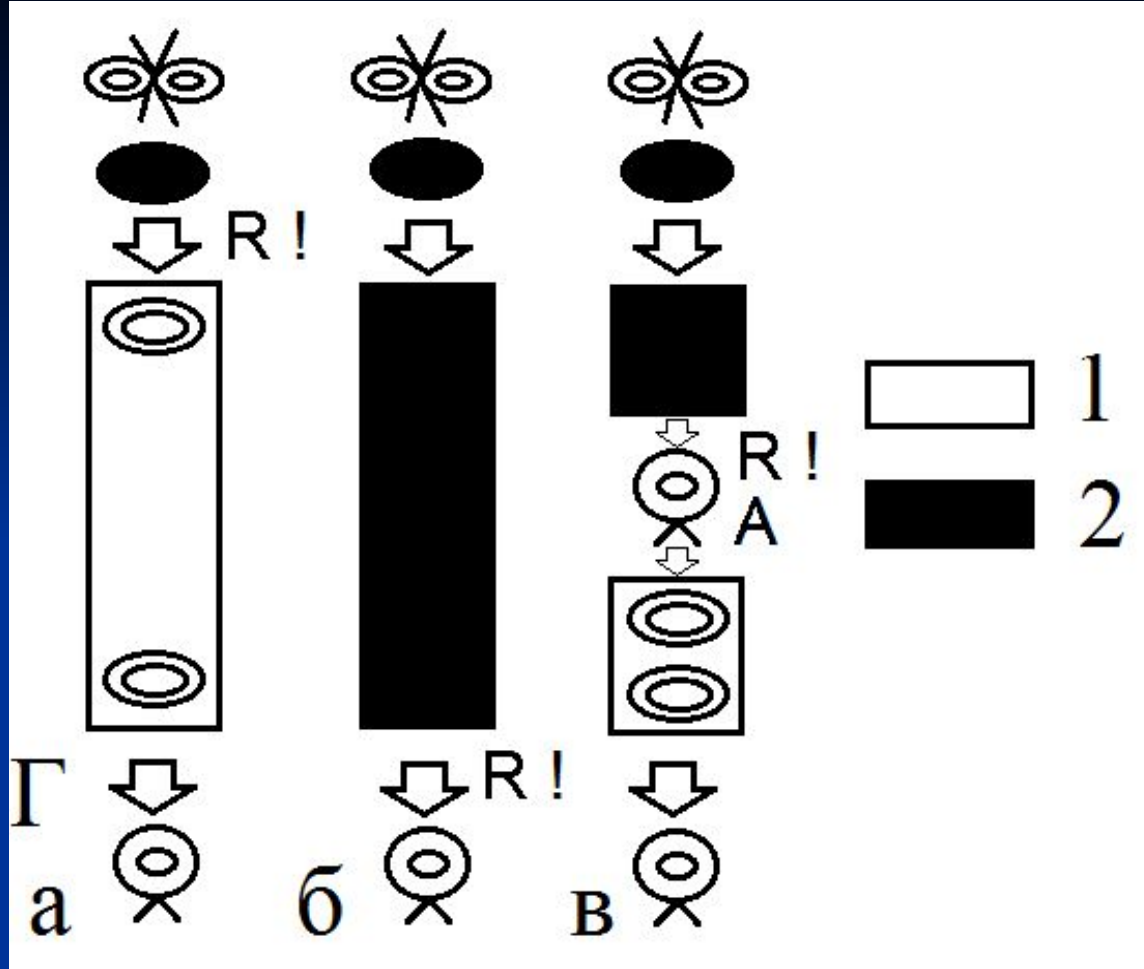
При изучении Protozoa следует обратить внимание на мультифункциональность клеток; сходство основных черт строения и жизнедеятельности простейших как самостоятельных организмов при широкой вариабельности признаков в таксонах. Относительная стабильность физического состояния, химического состава ядра и цитоплазмы, в которой имеются сократимые актино-миозино подобные белковые фибриллы, сочетается с многообразием форм органелл движения (псевдоподии, жгутики, реснички), питания, выделения (вакуоли разной степени сложности и локализации), жизненных циклов.

Размножение одноклеточных: бесполое (митозы, амеба), половое – копуляция (фораминифера, жгутиконосцы) и коньюгация (инфузории). При бесполом размножении жизненный цикл может отсутствовать или быть соматическим – безъядерным (есть стадии «спокоя» – споры, цисты). При половом размножении (ядерный цикл) жизненный цикл одноклеточных может быть изогамным (равногаметным, фораминифера, грегарина), анизогамным (неравногаметным, в малоклеточных колониях фитомастигин) или оогамным (вольвокс).

Мейотическое деление (редукция) может быть зиготическое (споровики), промежуточное (фораминифера), или гаметическое (вольвокс и отдельные паразитические жгутиконосцы).



Жизненные циклы Protozoa



Основные типы ядерных циклов Protozoa, имеющих половой процесс (по К.В.Беклемишеву, 1979): а – с зиготической редукцией; б – с гаметической редукцией; в – с промежуточной редукцией. 1 – стадии гаплоидного поколения, 2 – стадии диплоидного поколения, R! – место редукционного деления, Γ – гаметы, А – агаметы.

Участок цитоплазмы с ядром, обслуживающими его органеллами и более или менее завершенной пограничной мембраной – энерида. Среди одноклеточных животных следует различать: одноядерные (моноэнергидные) диплоидные (амеба) и полиплоидные (солнечник), многоядерные (полиэнергидные) – опалина, инфузории и колониальные (воротничковые жгутиконосцы) формы.

При делении подцарства на типы и классы учитываются: структурный уровень, стабилизация локализации органелл (формы тела, покровов, пищеварительного и выделительного аппарата, локомоторных органелл), жизненных циклов. По образу жизни выделяются свободноживущие (морские, пресноводные, почвенные) и симбиотические или паразитические (у различных групп растений и животных).

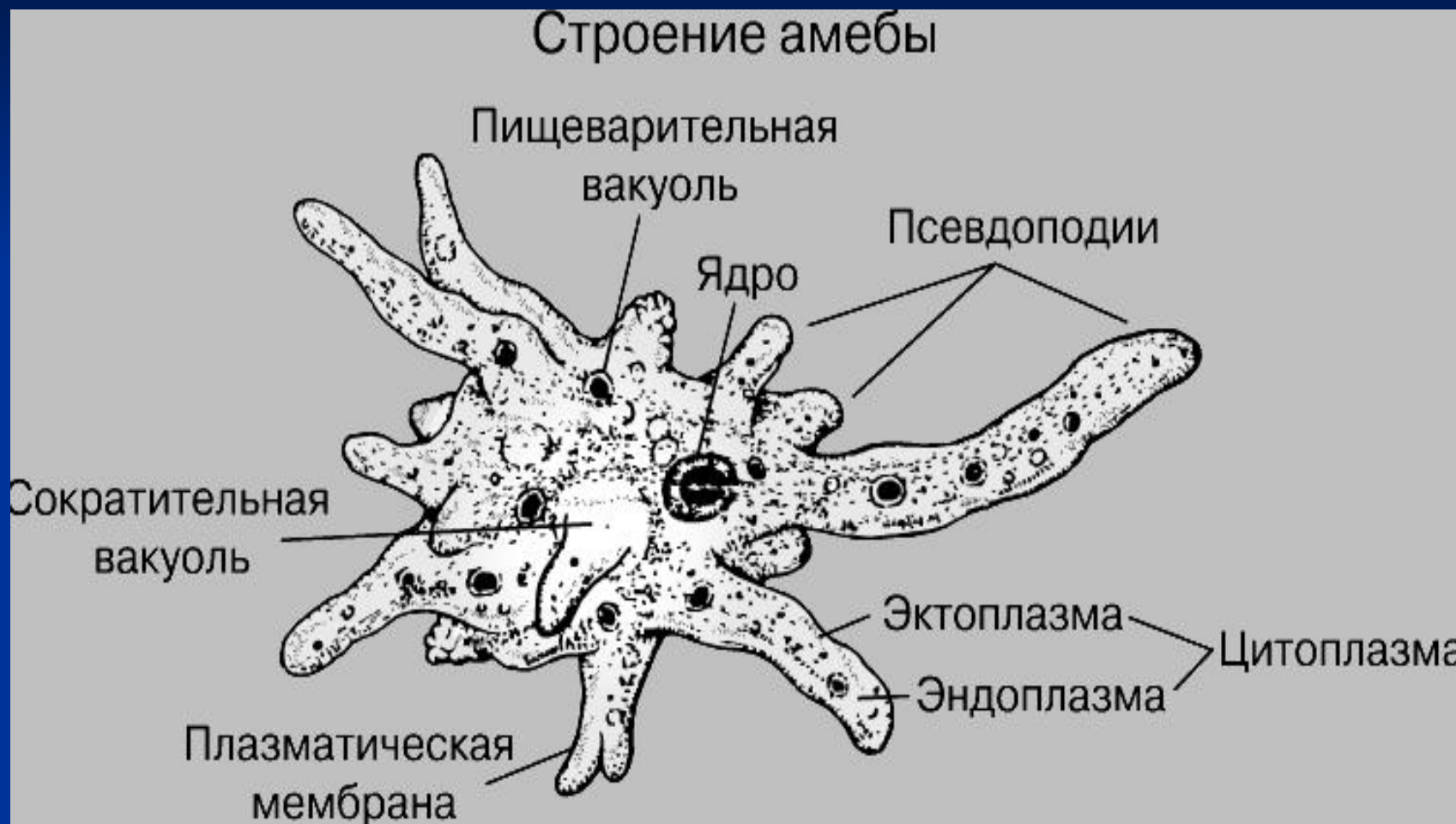
Тип Саркомастигофоры (Sarcomastigophora)

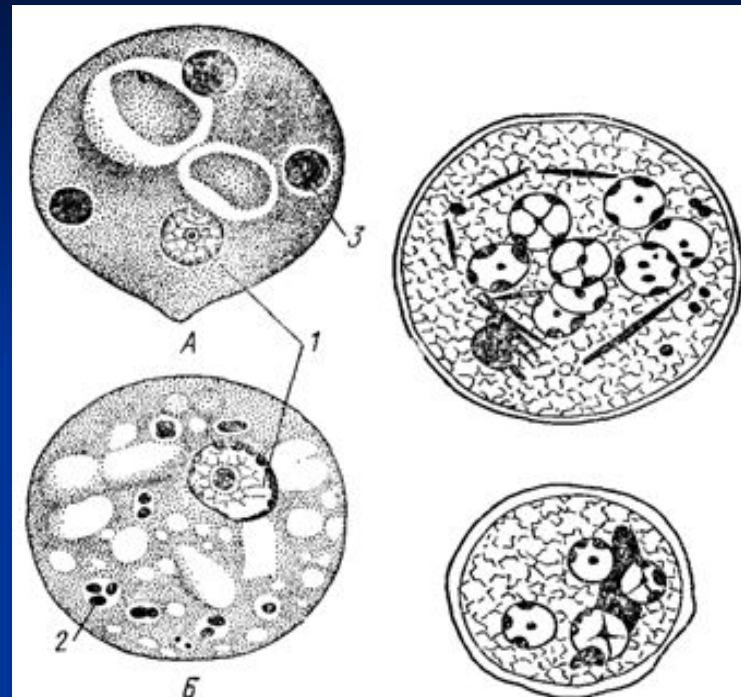
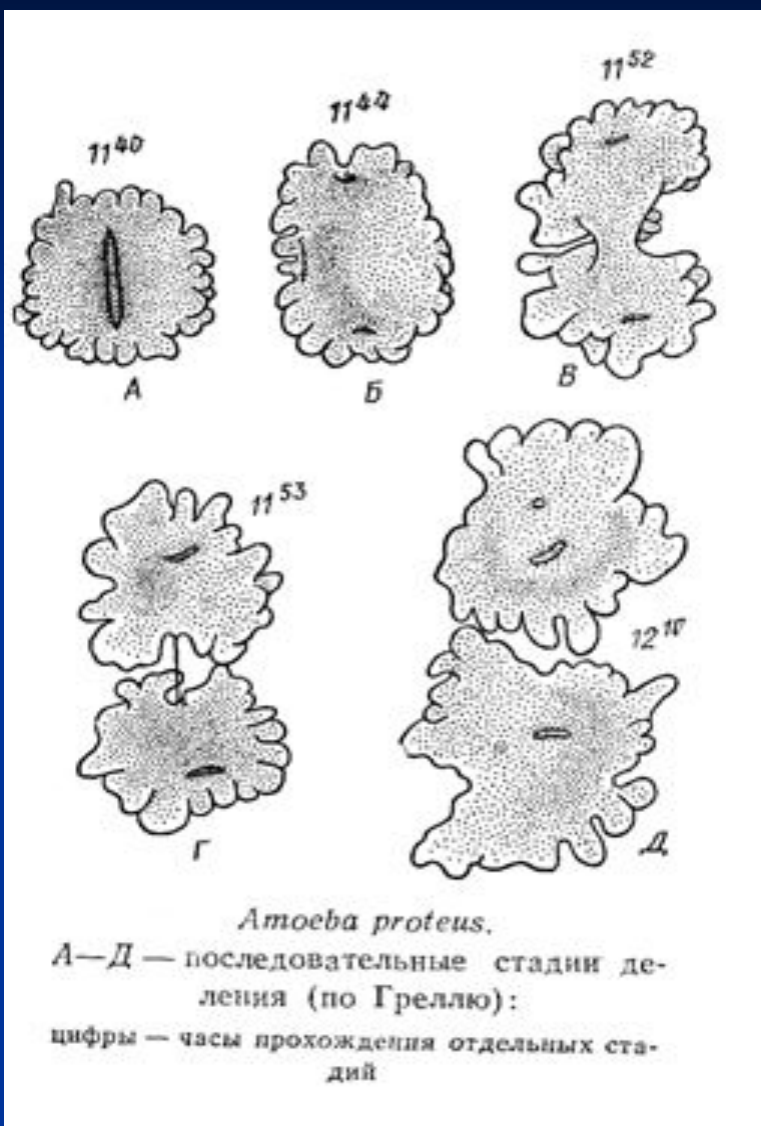
Подтип Саркодовые (Sarcodina)

**Классы Корненожки (Rhizopoda), Аучевики (Radiolaria),
Солнечники (Heliozoa)**

Следует обратить внимание на разные типы скелета и степень усложнения структуры и функции псевдоподий, особенности питания, размножения, возникновение ядерного (полового) цикла у фораминифер и отдельных радиолярий. Роль фораминифер и радиолярий в образовании донных отложений. Патогенные кишечные амебы.

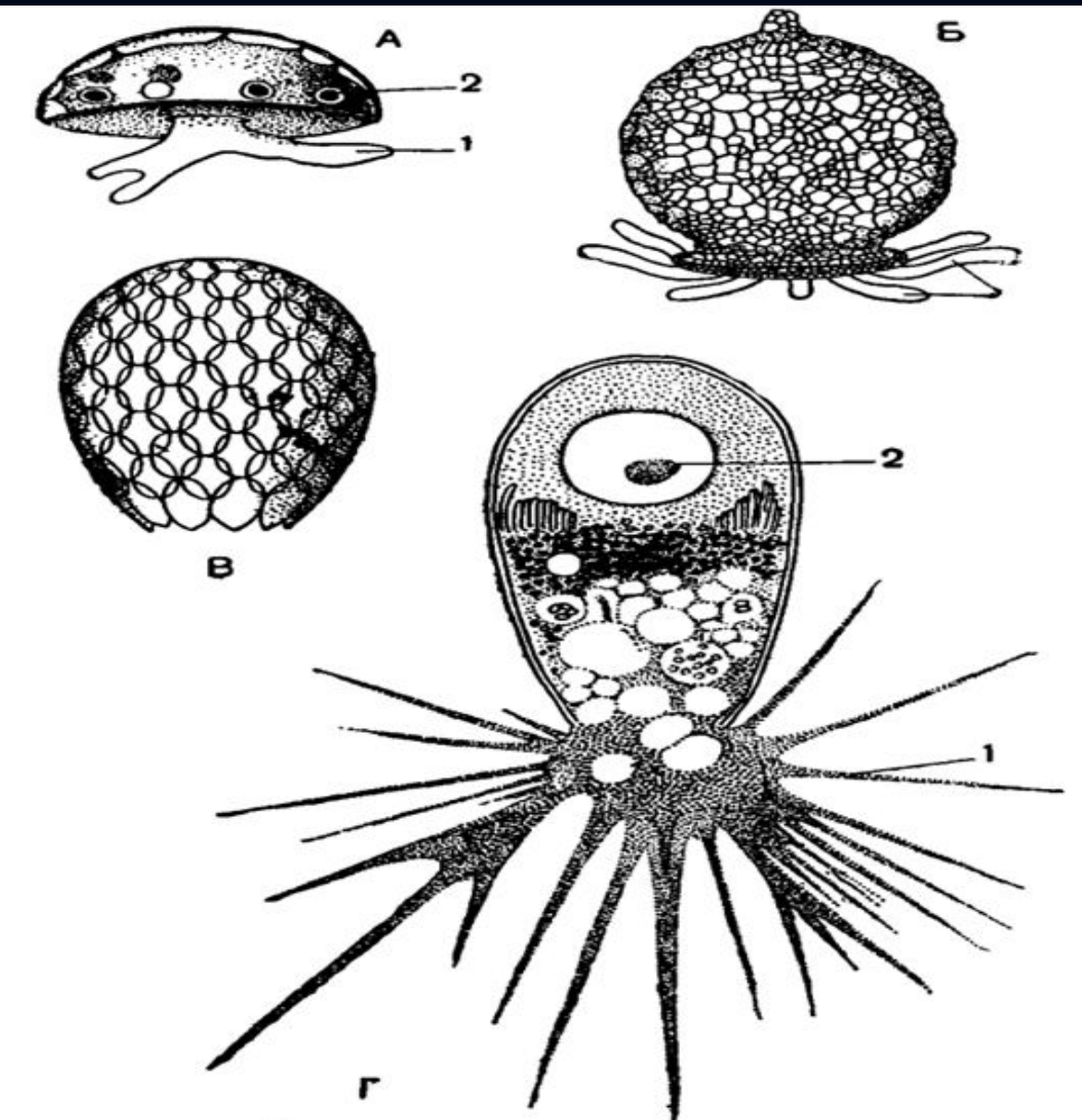
Класс Корненожки (Rhizopoda)



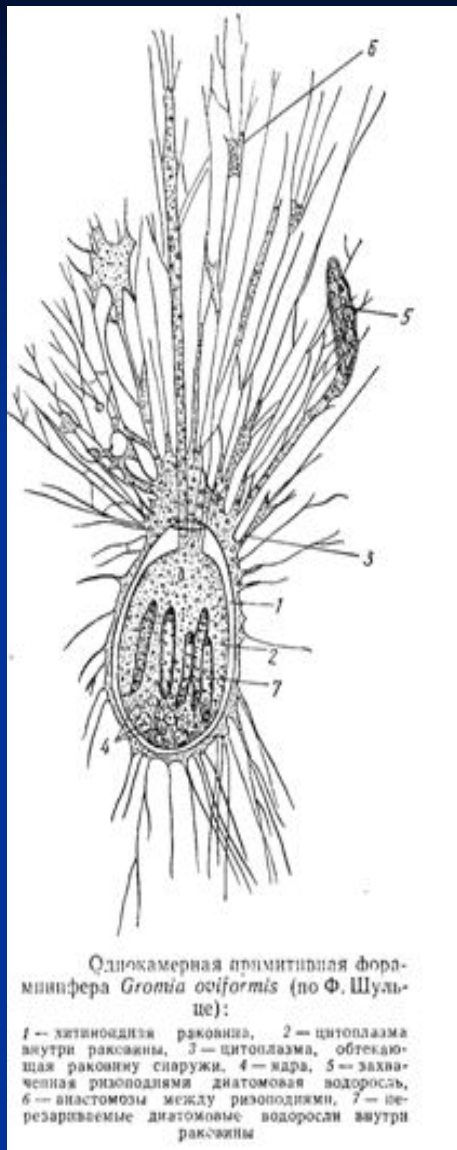


Амеба из кишечника человека (по Венюону). А — дизентерийная амеба (*Entamoeba histolytica*); Б — кишечная амеба (*Entamoeba coli*);
1 — ядро, 2 — загло-
ченные бактерии, 3 —
заглоченные эритро-
циты

Цисты ки-
шечной амебы
(вверху) и дизен-
терийной амебы
(внизу). В цистах
видны ядра (у ки-
шечной амебы их
восемь, у дизенте-
рийной — четыре)
и хроматоидные
тельца (по Кофоиду)

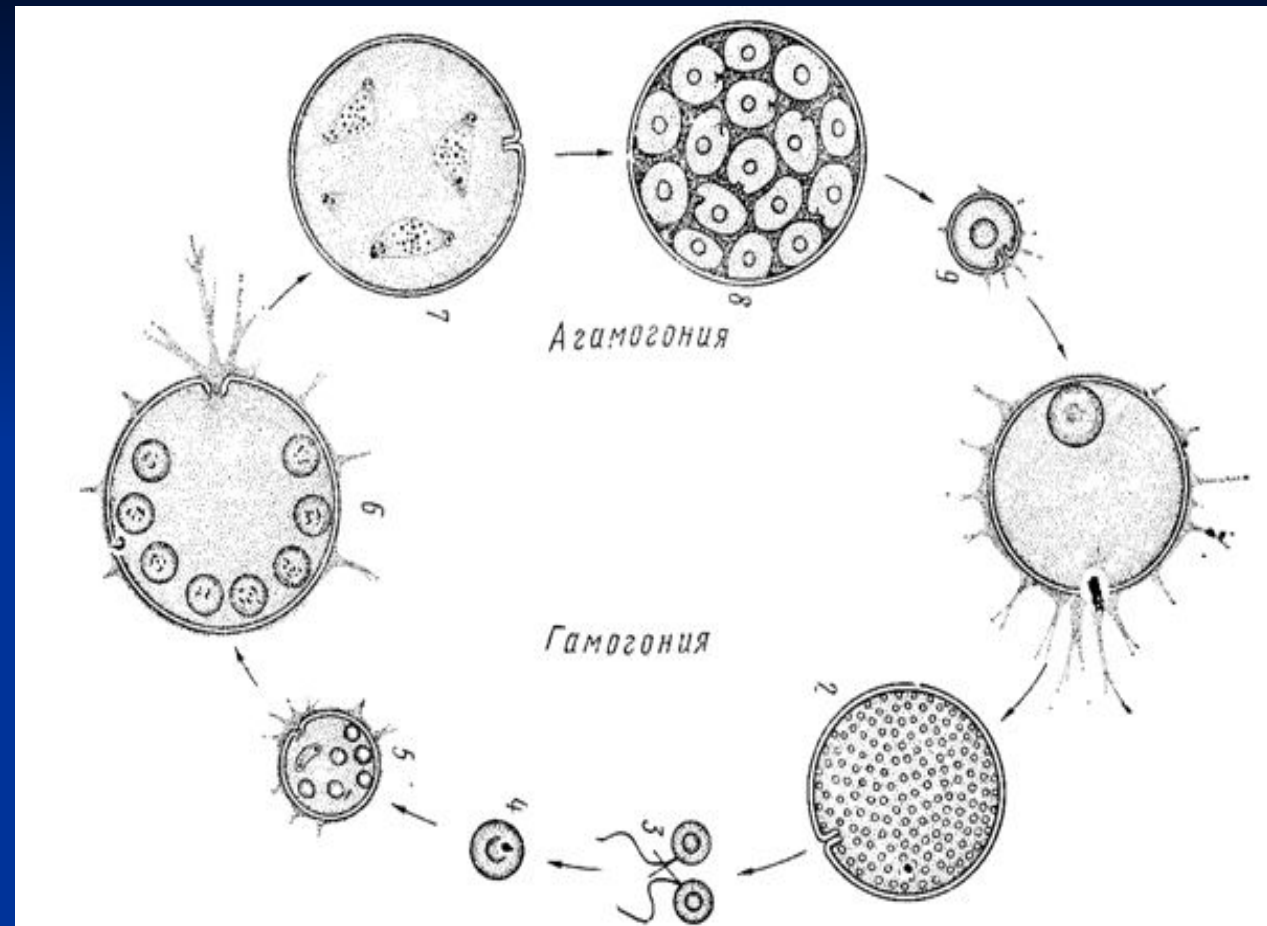


Разные виды раковинных кориеножек:
А — Arcella; **Б** — Diffugia; **В** — Euglypha — раковинка;
Г — Euglypha с псевдоподиями. 1 — псевдо-
 подии; 2 — ядро.



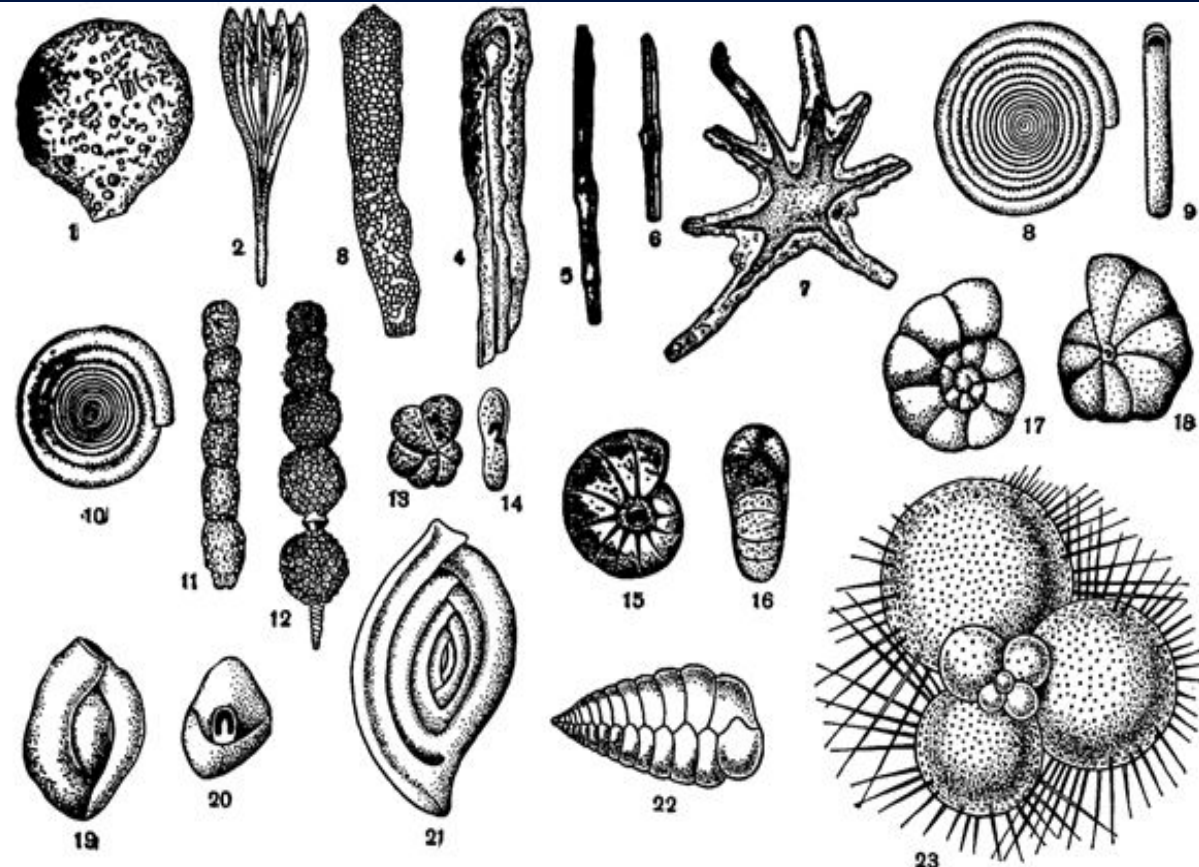
Однокамерная примитивная фораминифера *Gromia oviformis* (по Ф. Шульце):

1 — хаптоидия раковина, 2 — цитоплазма внутри раковины, 3 — цитоплазма, обтекающая раковину спиралью, 4 — ядра, 5 — захватченная ризоподиями диатомовая водоросль, 6 — анатомозы между ризоподиями, 7 — неизъясняемые диатомовые водоросли внутри раковины



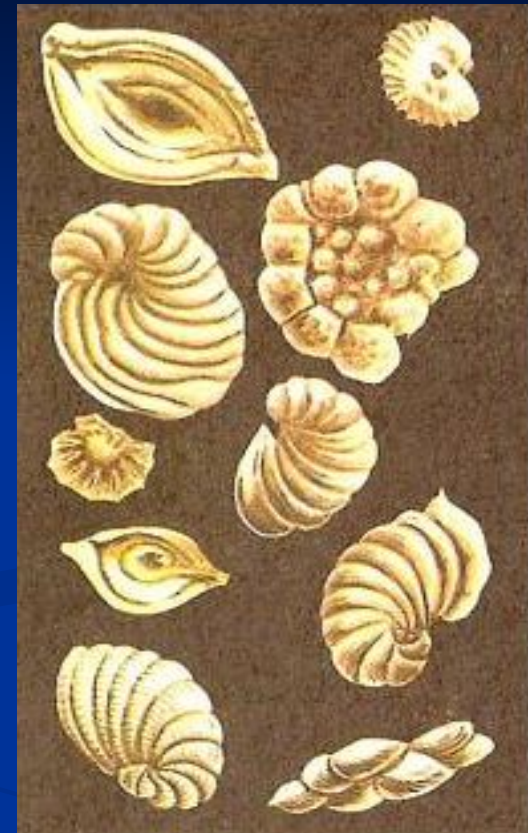
Цикл развития фораминиферы *Myxotheca arenilega* (по Грелю):

1 — одноядерный гамонт, 2 — гамонт после образования ядер гамет, 3 — копуляция гамет, 4 — зигота, 5 — молодой агамонт, 6 — растущий агамонт, 7 — мейоз (момент редукции); 8 — образование агамет, 9 — молодая агамета (гамонт)



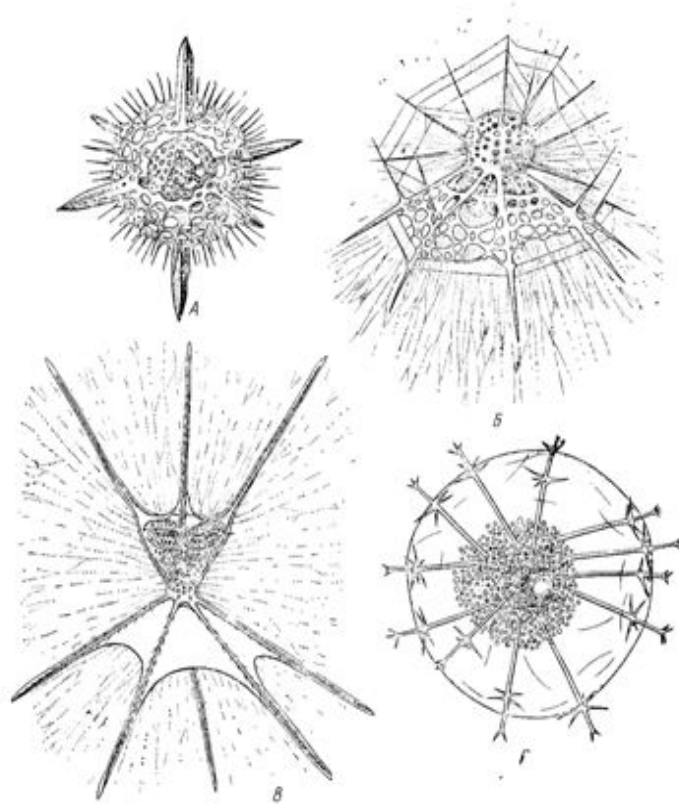
Раковинки различных фораминифер:

1 — *Saccammina sphaerica*; 2 — *Lagenia plurigera*; 3 — *Hyperammina elongata*; 4 — то же в разрезе; 5 — *Rhabdammina linearis*; 6 — то же в разрезе; 7 — *Astrorhiza limicola*; 8 — *Ammodiscus incertus*, вид сбоку; 9 — то же со стороны устья; 10 — *Cornuspira involvens*; 11 — *Rheopax nodulosus*; 12 — *Nodosaria hispida*; 13 — *Naphrophragmoides canariensis*, вид сбоку; 14 — то же со стороны устья; 15 — *Nonion umbilicatulus*; 16 — то же со стороны устья; 17 — *Discorbis vesicularis*; 18 — то же, вид со стороны основания; 19 — *Quinqueloculina seminulum* (вид сбоку); 20 — то же со стороны устья; 21 — *Spiroloculina depressa*; 22 — *Textularia sagittula*; 23 — *Globigerina* sp.



Раковинки различных фораминифер

Класс Лучевики (Radiolaria)



Различные радиолярии (по Геккелю и др.). А — *Actinomima asterocantha* (отряд Spinellaria), три скелетные сферы, вложенные одна в другую; Б — *Arachnocorys circumtexta* (отряд Nasellaria), рисунок с живого экземпляра с псевдоподиями и лопастной центральной капсулой; В — *Tuscarilla nationalis* (отряд Phacodaria), рисунок с живого экземпляра с псевдоподиями, двумя центральными капсулами и скоплением экскреторных зерен; Г — *Aulospathus variabilis* (отряд Rhineodaria) с ветвящимися скелетными иглами, центральной капсулой и скоплением экскреторных зерен

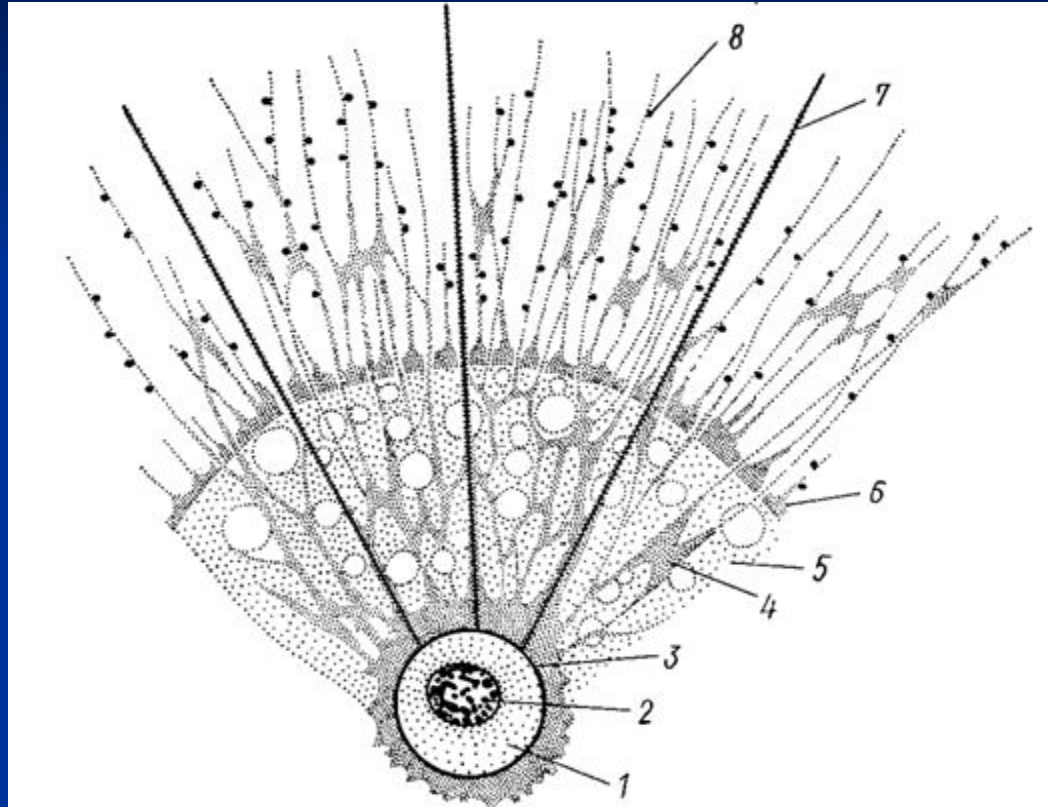
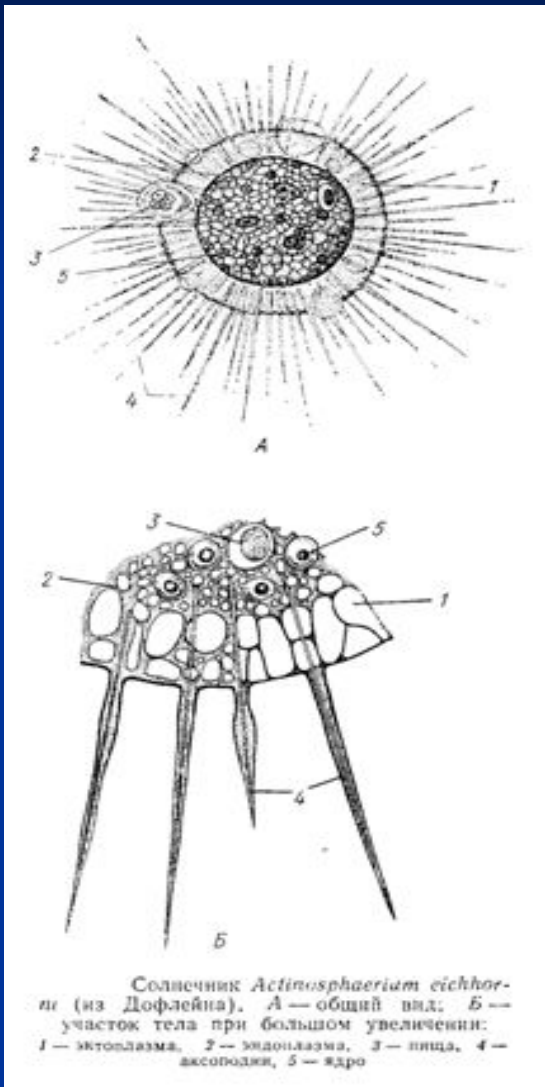


Схема частей тела радиолярии (по Стрелкову):
1 — внутрикапсуллярная цитоплазма, 2 — ядро, 3 — слой плотной цитоплазмы, прилегающий к центральной капсule, 4 — проходящие через пенистый слой основания псевдоподий, 5 — пенистый слой, 6 — наружный уплотненный слой цитоплазмы, 7, 8 — псевдоподии

Класс Солнечники (Heliozoa)



Солнечник *Acanthocystis turfacea*

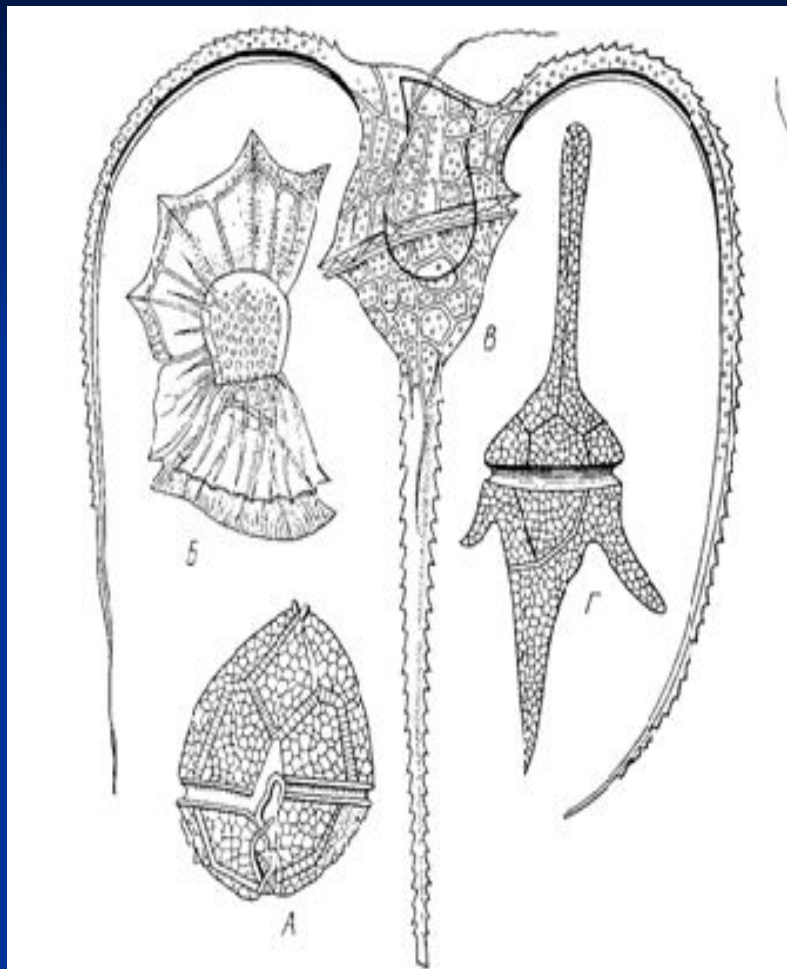
Подтип Жгутиконосцы (Mastigophora)

**Классы Растительные (Phytomastigophorea), Животные
жгутиконосцы (Zoomastigophorea)**

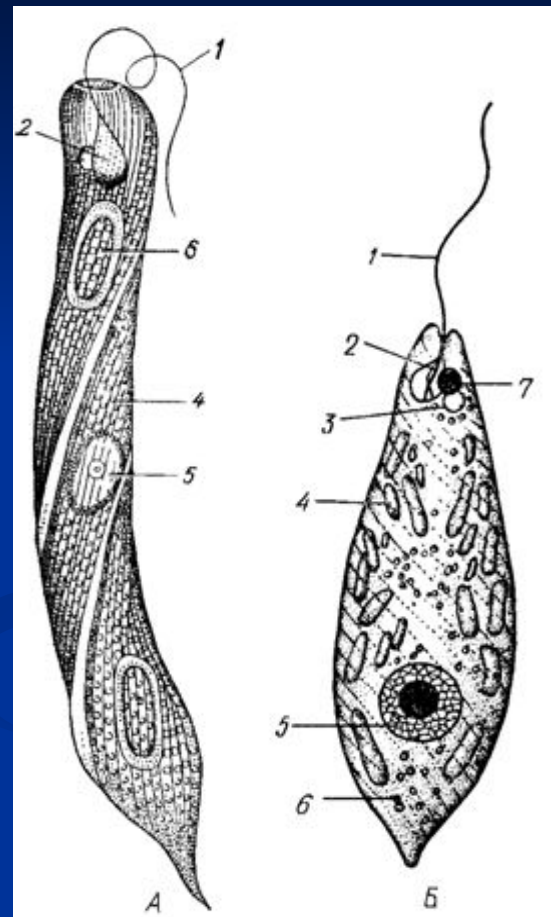
Автотрофные, гетеротрофные и паразитические жгутиковые.

Жгутики, их строение и функции. Многообразие типов размножения жгутиковых. Основные отряды жгутиковых.

Патогенные жгутиковые: трипаносомы, лейшмании, их распространение и переносчики. Колониальные жгутиковые, их происхождение и значение для понимания происхождения многоклеточных животных.



Панцирные жгутиконосцы (*A* и *Г* по Рылову, *Б* и *Д* по Геккелю). *А* — *Peridinium*; *Б* — *Ornithoceras*; *В* — *Ceratium tripos*; *Г* — *Ceratium hirudinella*.



Два вида евглен. *А* — *Euglena oxyuris* и *Б* — *Euglena viridis* (по Дофлейну):

1 — жгутик, *2* — резервуар сократительной вакуоли, *3* — сократительная вакуоль, *4* — несущие хлорофилл хроматофоры, *5* — ядро, *6* — парамиевые зерна, *7* — глазок

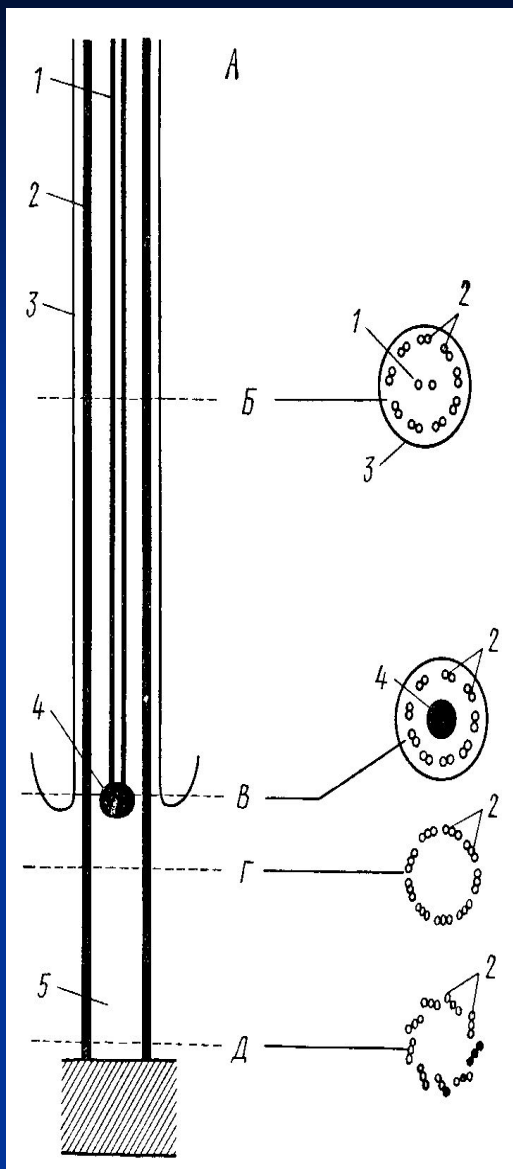
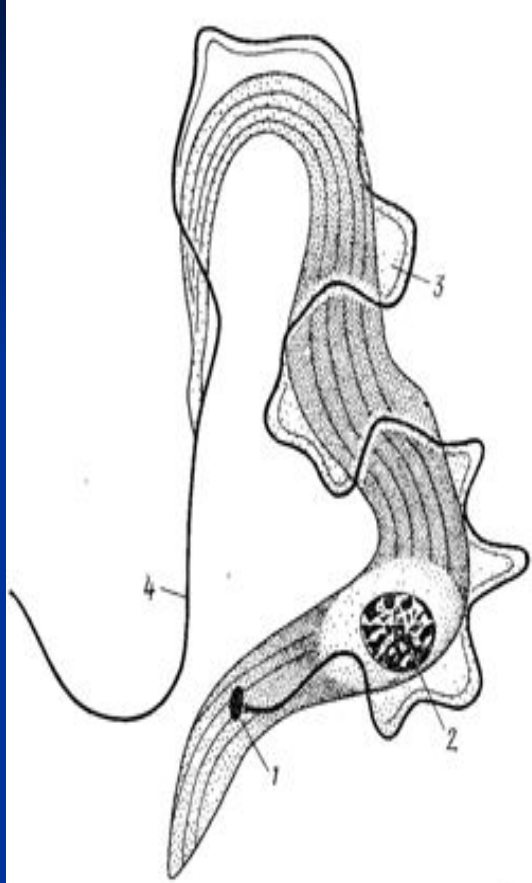


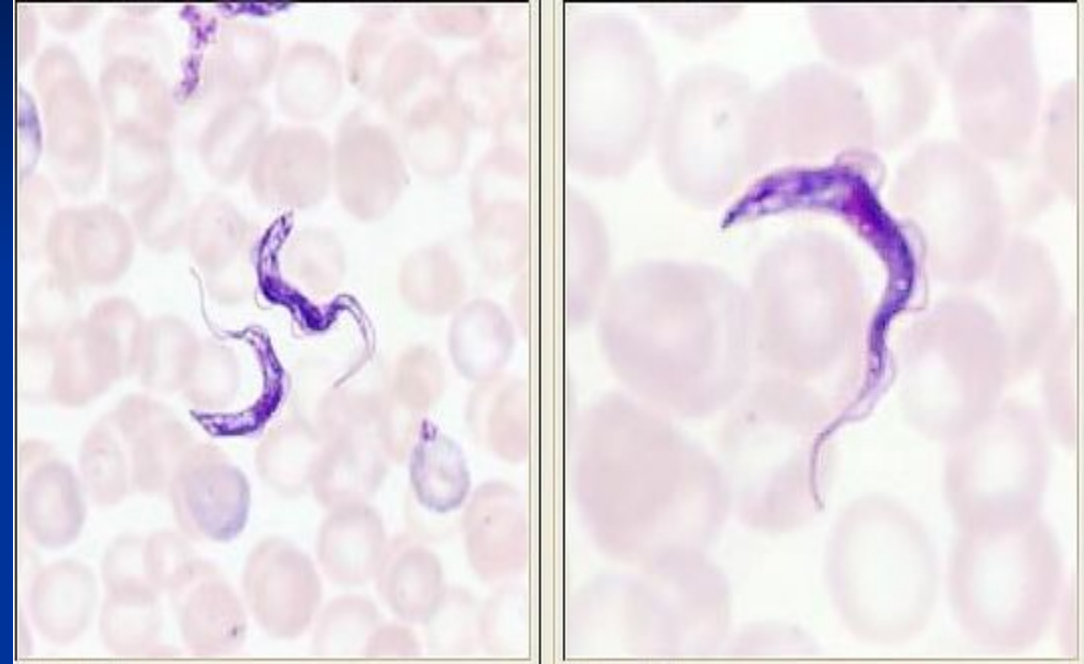
Схема строения жгутика и реснички по данным электронной микроскопии (по Нуаро-Тимотэ, с изменениями). *А* – продольный разрез жгутика; *Б* – поперечный разрез на уровне жгутика; *В* – поперечный разрез на уровне аксиальной гранулы кинетосомы; *Г* – поперечный разрез в средней части кинетосомы; *Д* – поперечный разрез в задней части кинетосомы:

1 – центральные фибриллы, *2* – периферические фибриллы, *3* – наружная мембрана жгутика, переходящая в мембрану тела, *4* – аксиальная гранула, от которой берут начало центральные фибриллы, *5* – кинетосома

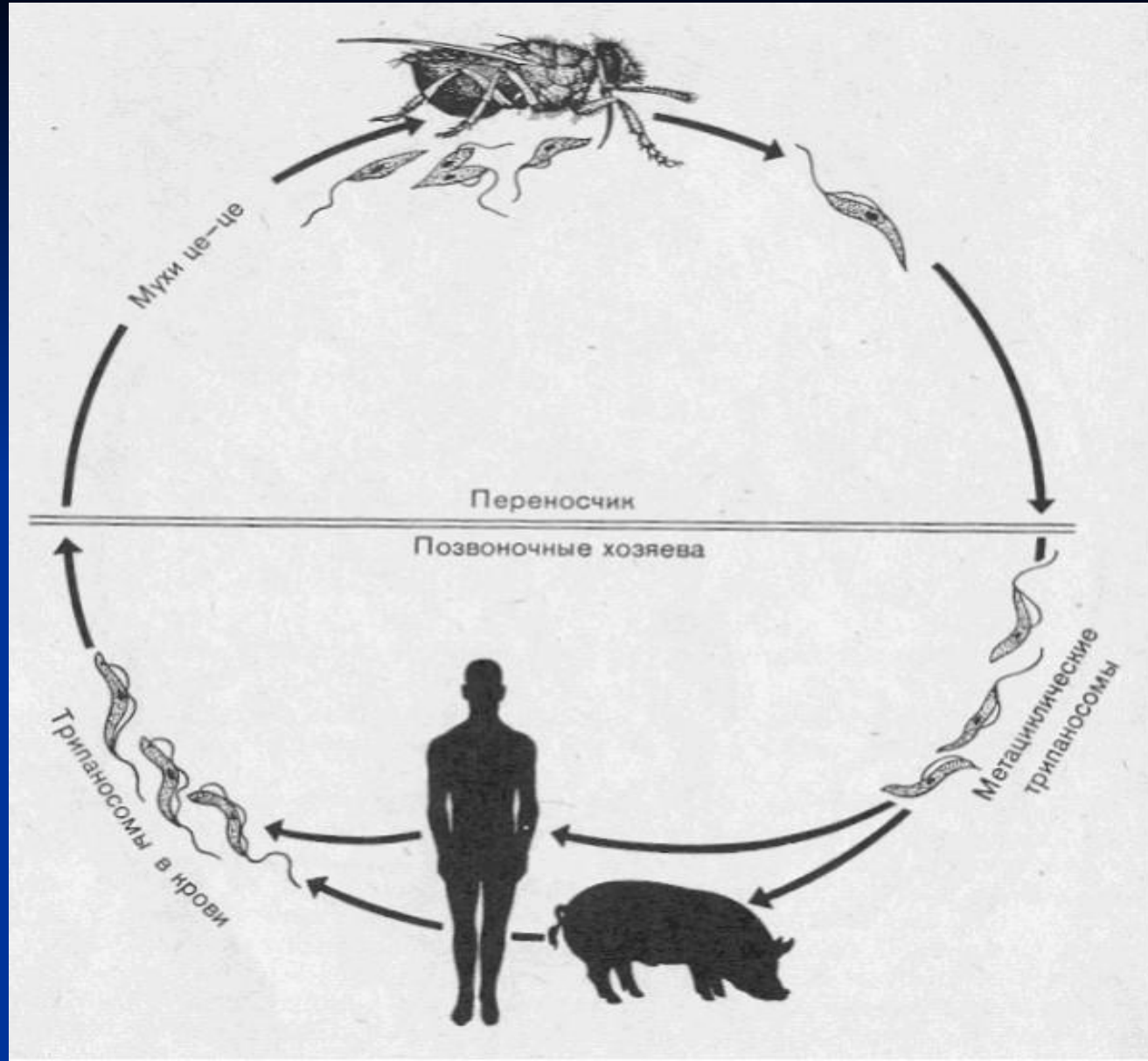


Трипанозома *Trypanosoma vittatae* из крови черепахи *Emyda vittata* (по Робертсону):

1 — кинетопласт, 2 — ядро, 3 — ундулирующая мембрана, 4 — жгутик



Trypanosoma gambiense



Жизненный цикл *Trypanosoma gambiense*



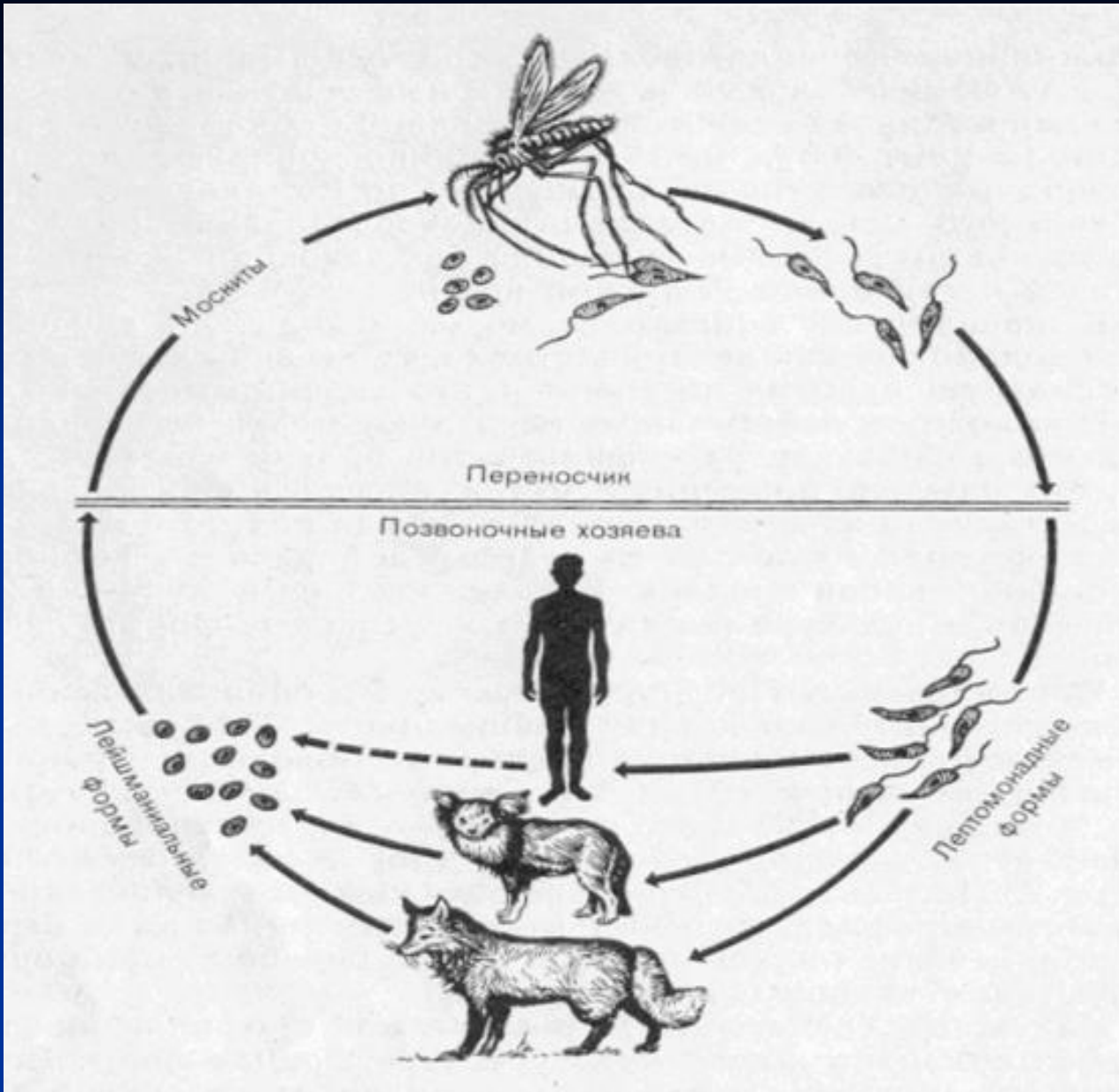
Leishmania donovani. А — паразиты в клетке хозяина (по Майеру); Б — жгутиковые формы лейшманий в культуре (по Веньюну):

1 — лейшмания, 2 — ядро клетки хозяина

Язвы, вызываемые *Leishmania tropica* (пендинская язва)

Схема строения *Trichomonas angusta* (по Кофонду и Свизи):

1 — передние жгути, 2 — ундулирующая мембрана, 3 — базальные зерна жгутиков, 4 — парабазальное тело, 5 — цитостом (клеточный рот), 6 — ядро, 7 — опорная фибрilla, проходящая по краю тела у основания ундулирующей мембранны, 8 — вакуоли в цитоплазме, 9 — аксостиль, 10 — задний жгутик — продолжение жгута ундулирующей мембранны

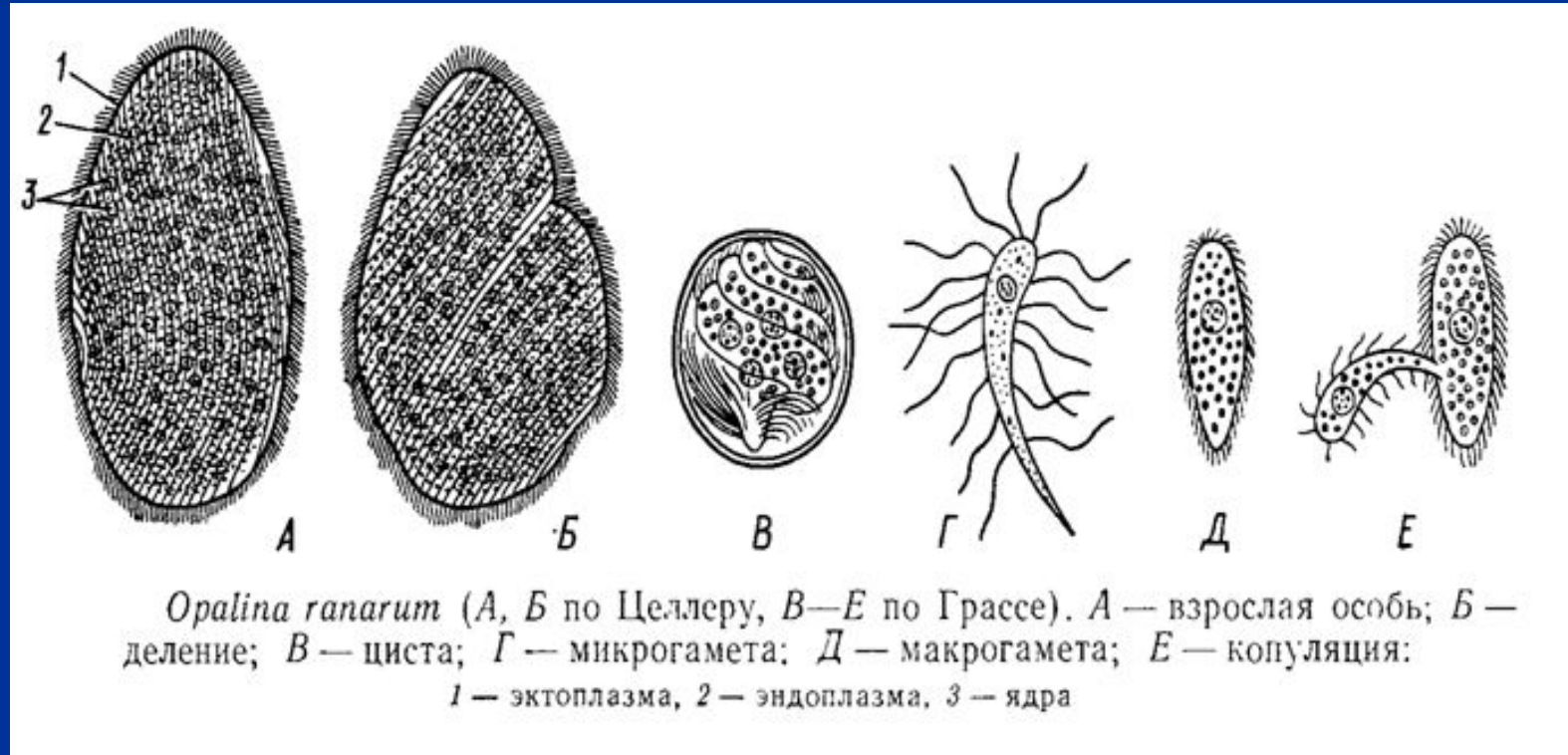


Жизненный цикл *Leishmania donovani*

Подтип Опалины (Opalinata)

Класс Опалины (Opalinatea)

Полиэнергидная , жизненный цикл согласован с жизненным циклом хозяина (лягушки).



Тип Апикомплексы (Apicomplexa) с. Споровики (Sporozoa)

Организация споровиков есть результат паразитизма.

Характерно сложное чередование бесполого и полового размножения (шизогония, гамогония и спорогония). Циклы развития эволюционируют в ряду : грегарины, кокцидии и гемоспоридии.

Систематика:

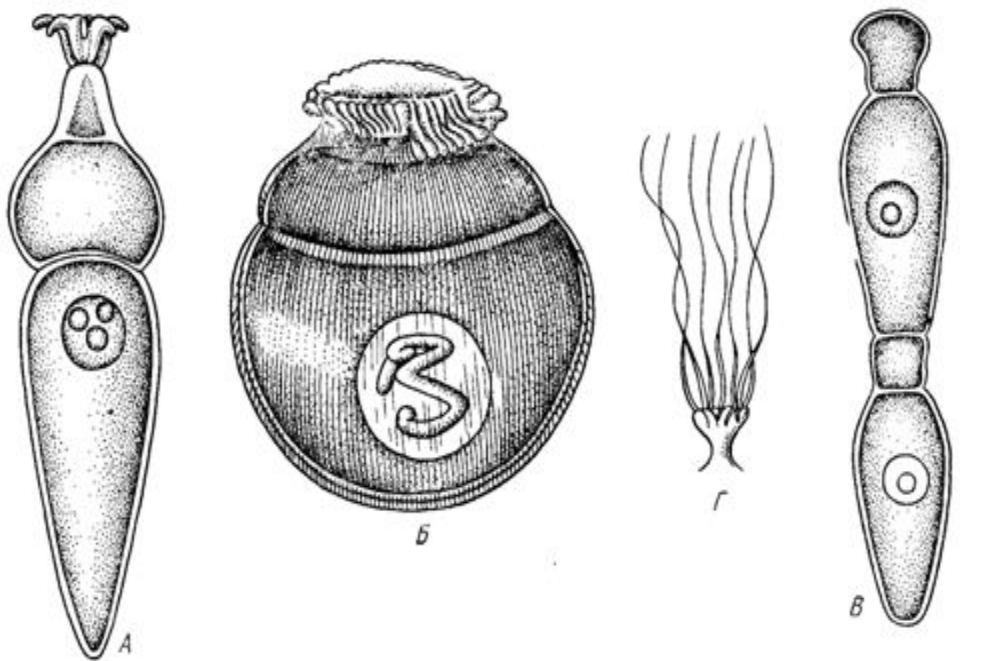
Класс I Грегарины (Gregarinina)

Класс II Кокцидиообразные (Coccidiomorpha)

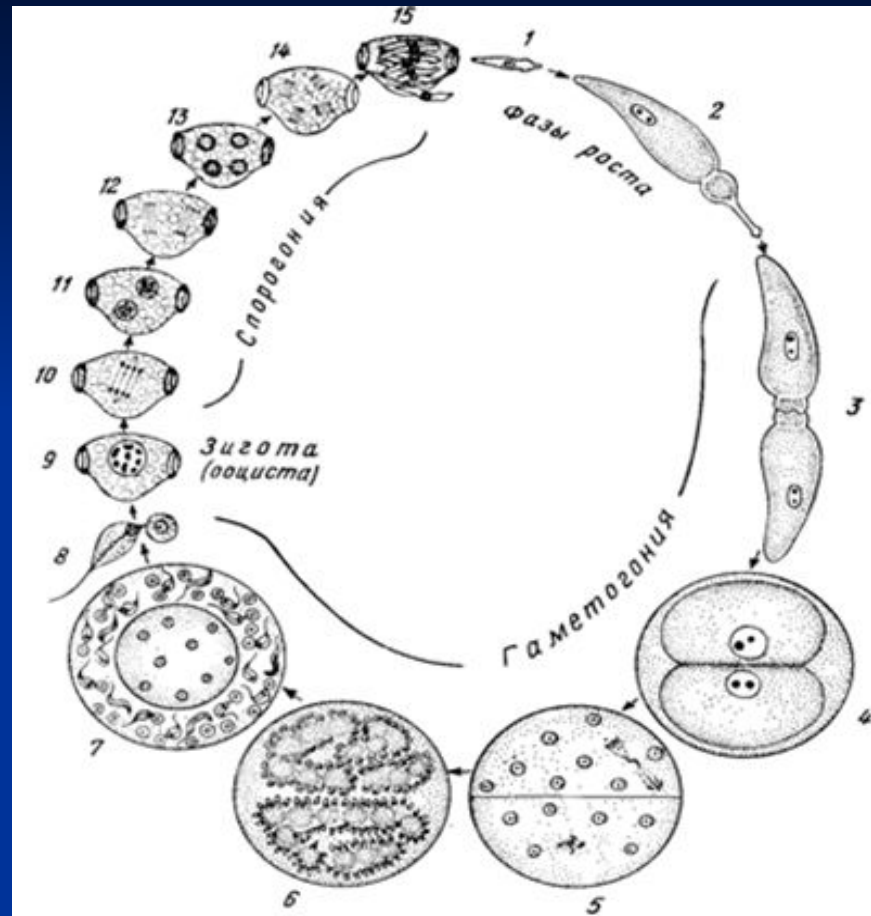
Отряд 1 Кокцидии (Coccidiida)

Отряд 2 Кровяные споровики (Haemosporidia)

Класс I Грегарины (Gregarinina)



Разные виды грегарин (по Василевскому). А — *Corycella armata*; Б — *Lophynchus insignis*; В — *Hirnomyces ventricosa* (две соединившиеся особи); Г — эпимерит *Pogonites crinitus*.

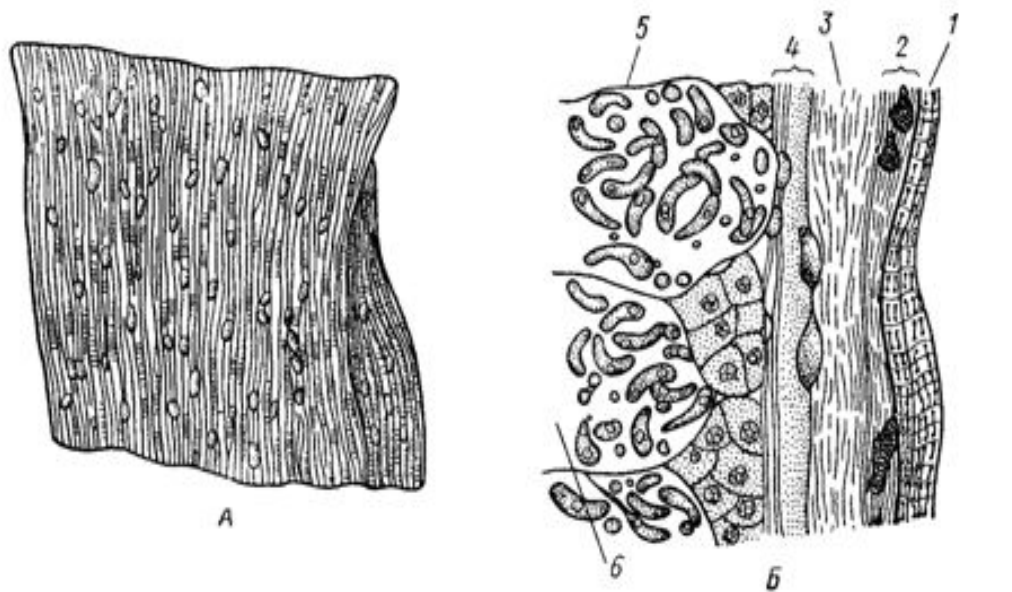


Цикл развития грегарина *Stylocephalus longicollis* (по Греллю с изменениями):

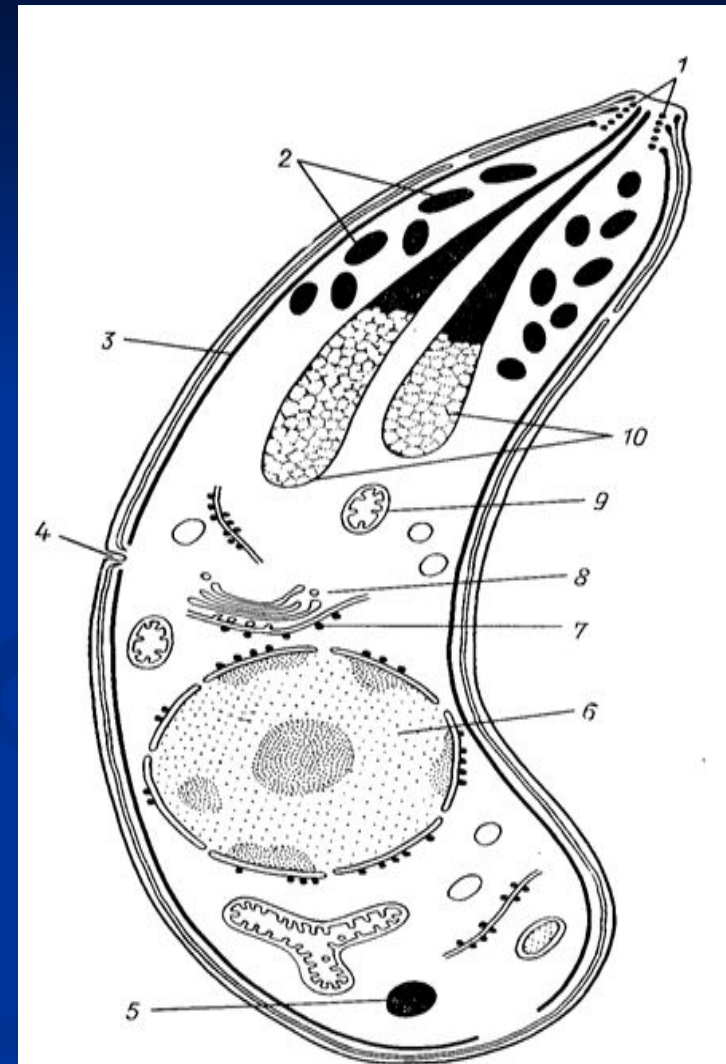
1 — спорозонт, вышедший из ооцисты, 2 — растущий грегарин, 3 — сиагий, образованный двумя соединившимися грегаринами, 4 — циста с двумя грегаринами, 5 — деления ядра, предшествующие образованию гамет (гаметогенез), 6 — образование гамет, часть цитоплазмы остается в виде остаточного тела, 7 — гаметы (продолговатые мужские, округлые женские) под оболочкой цисты, в центре — остаточное тело, 8 — копуляция гамет, 9 — зигота, выделившая оболочку (ооциста), 10 — первое (редукционное) деление ядра в ооцисте, 11 — ооциста с двумя ядрами, 12 — второе деление ядра в ооцисте, 13 — ооциста с четырьмя ядрами, 14 — третье деление ядра в ооцисте, ведущее к образованию восьми ядер, 15 — ооциста с восемью спорозонтами

Класс II Кокцидиообразные (Coccidiomorpha)

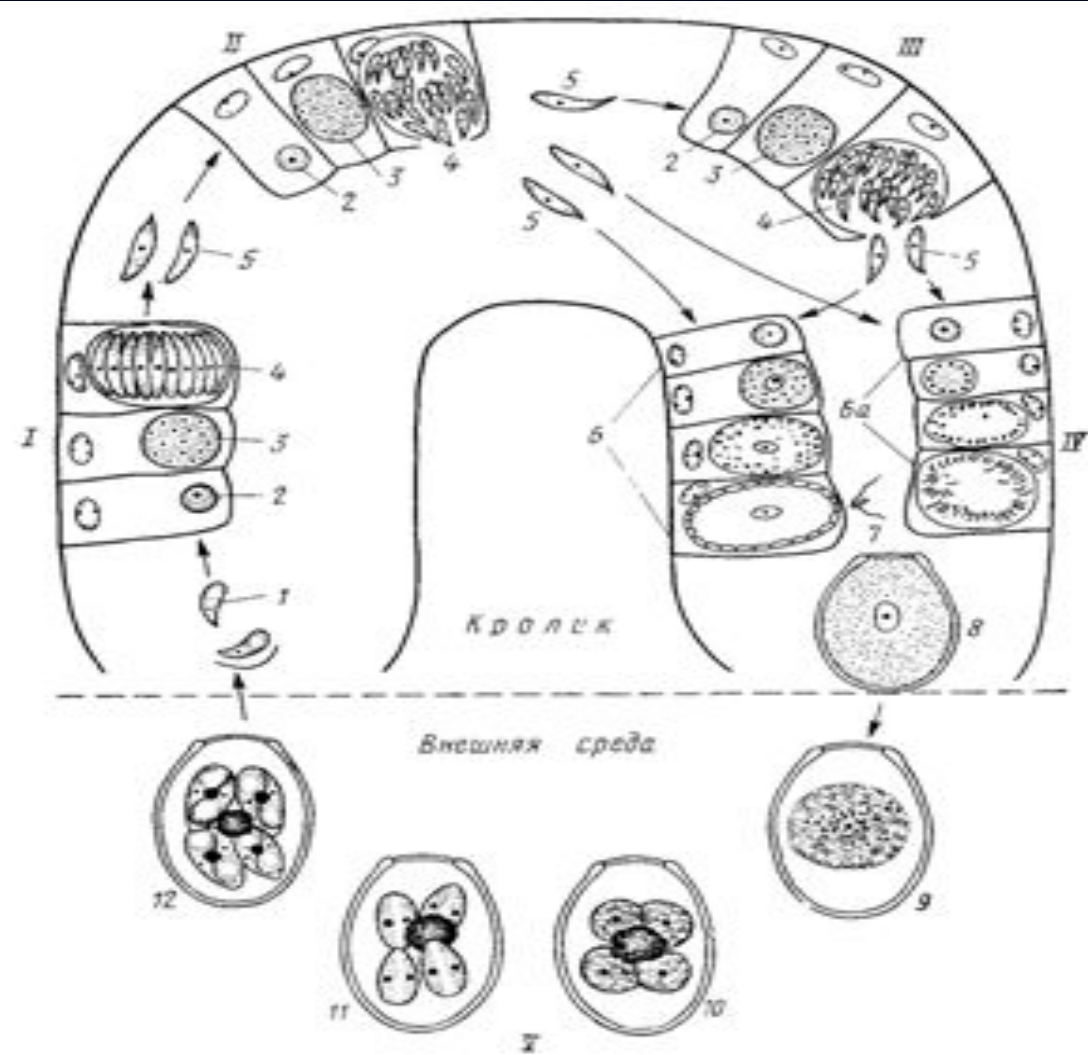
Отряд 1 Кокцидии (Coccidiida)



Саркоспоридии рода *Sarcocystis*. А — цисты паразита в мышцах, естественная величина (по Лейкарту); Б — участок разреза через цисту (по Алексееву): 1 — мышечное волокно, 2—3 — соединительная ткань, 4 — оболочка цисты, 5 — перегородки между камерами, 6 — камеры со зрелыми цистозоидами



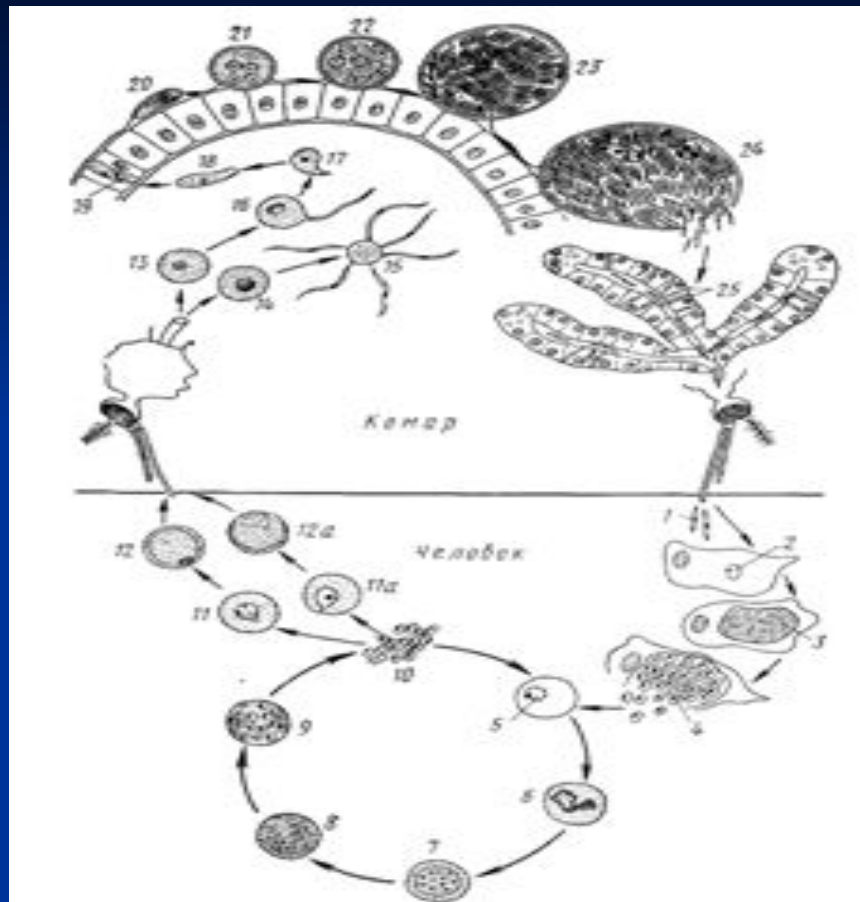
Ультраструктура мерозоита (или споронита) кокцидий (схематизировано, из Грэлля): 1 — коноид, 2 — микронемы, 3 — микротрубочки, 4 — микропора, 5 — жировая капля, 6 — ядро, 7 — эндоплазматическая гранулярная сеть, 8 — цистерны аппарата Гольджи, 9 — митохондрия, 10 — роптрий



Цикл развития кокцидий рода *Eimeria* (ориг. схема Е. М. Хейсина), I — первое поколение шизогонии; II — второе поколение шизогонии; III — третье поколение шизогонии; IV — гаметогония; V — спорогония:

I — спорозоиты, 2 — молодой шизонт, 3 — растущий шизонт с множеством ядер, 4 — шизонт, распавшийся на морозомы, 5 — развитые макрогаметы, 6, 6a — развитие микрагамет, 7 — микрагаметы, 8 — ооциста, 9 — ооциста, приступающая к спорогонии, 10 — ооциста с четырьмя споробластами и остаточным телом, 11 — развитие споробластов, 12 — зрелые ооцисты с четырьмя спорами, в каждой спore по два спорозонта

Отряд 2 Кровяные споровики (Haemosporidia)

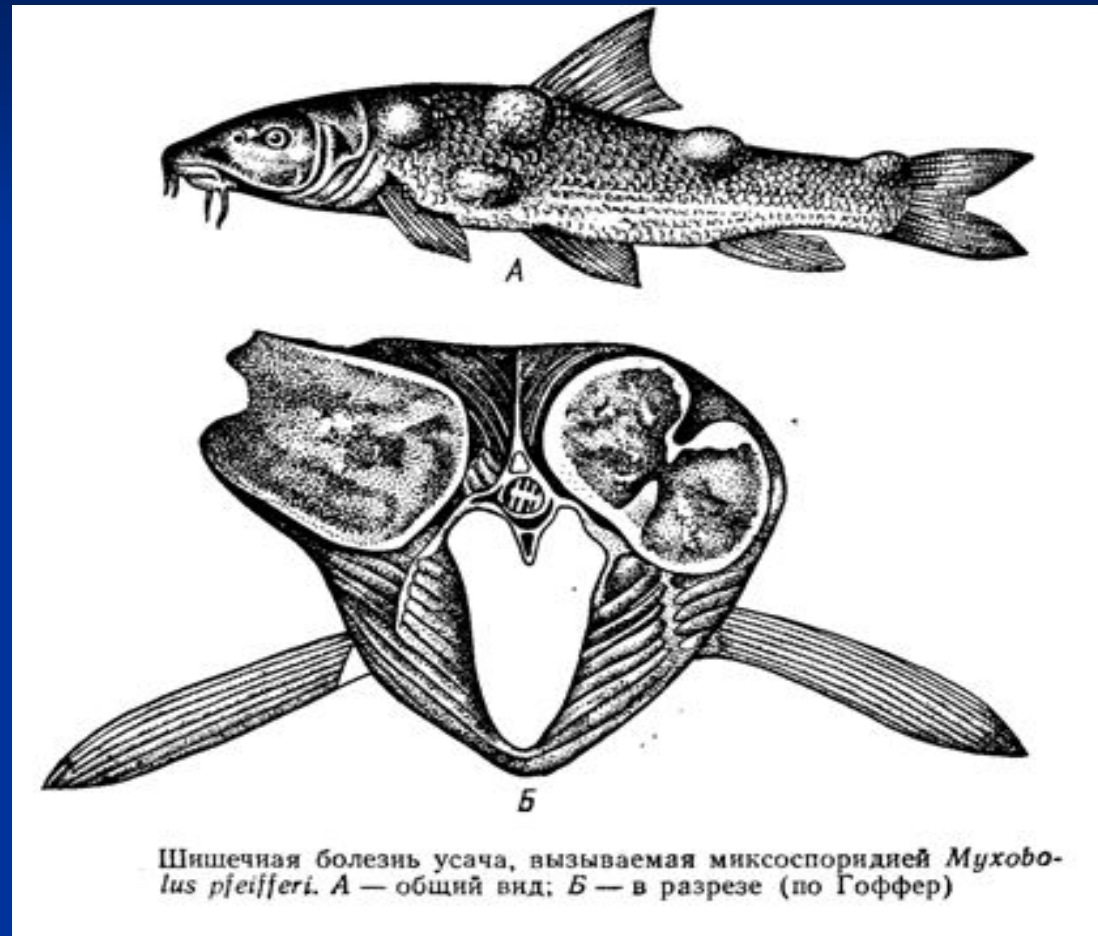


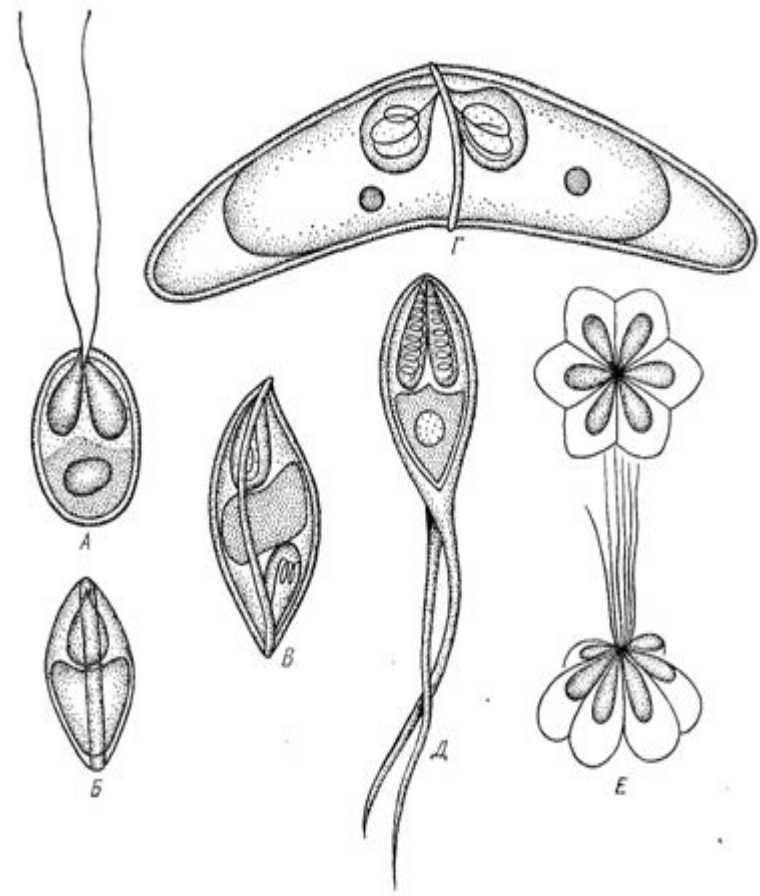
Цикл развития малярийного плазмодия рода *Plasmodium* (ориг. схема Е. М. Хейсина):

1 — спорозоиты, 2—4 — спорогония в蚊虫е, 5 — споронт, макро-овальцис в пищеводной клетке, 6 — споронт, распадающийся на микрогаметы и макрогаметы, 7—8 — зиготоплазмидарияния микрогамет, 9—10 — зигота, находящаяся в форме колышка, 11—12 — споронт, с полиплоидией, 13—14 — деление ядер энзуприя ресинтезирующегося цикломита, 15—20 — рост спорогонии на макроцитах и выход их из зиготоидия, кроме микрогамет, видимы зигры пигментов, 21—22 — молодой микрогамет, 23—24 — молодой макрогамет, 25—26 — зрелый микрогамет, 27 — макро-гамета, 28 — микрогамета, 29 — образование зиготы (флагеллонидия), 30 — коккулидия, 31 — зигота, 32 — подвившаяся зигота (бактериомат), 33 — проникновение оккапиты сквозь стенку кишечника комара, 34 — проникновение оккапиты в ооциты на внутренней стенке кишечника комара, 35, 36 — споруляция ооциты с делением ядер, 37 — зигры ооциты со споробластами и остаточным ядром, 38 — спорозоиты, покидающие ооциту, 39 — спорозоиты в склерозированном комаре

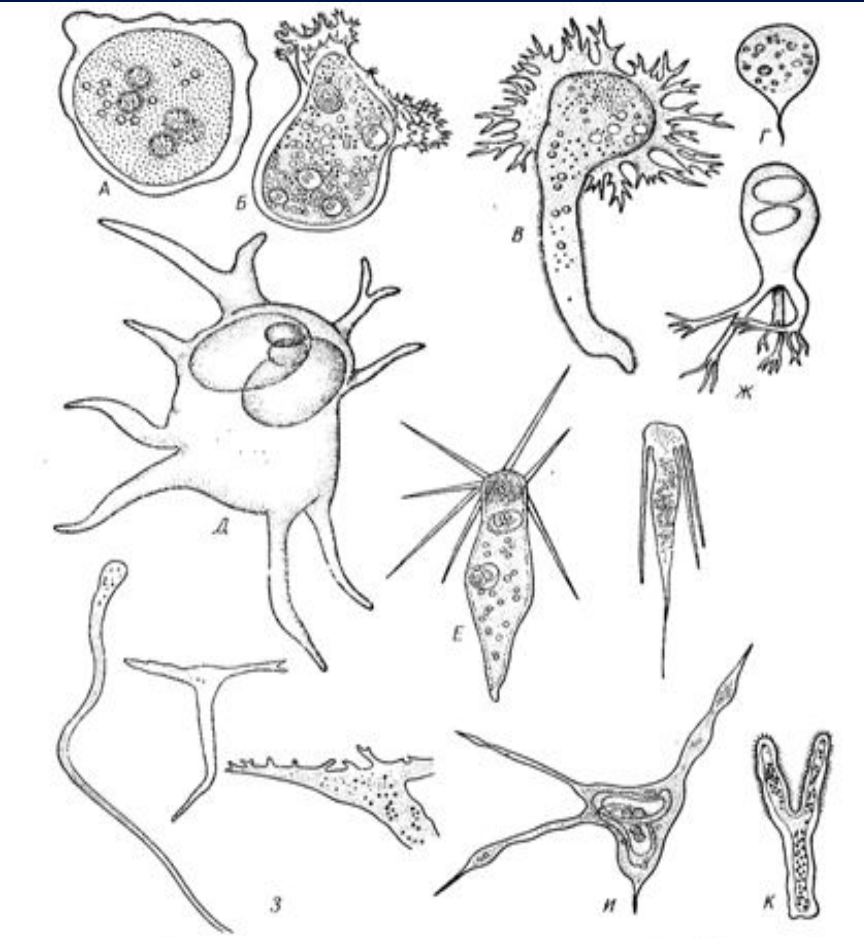
Тип Миксоспоридии (Мухозоа)

Локализация паразита в теле хозяина.





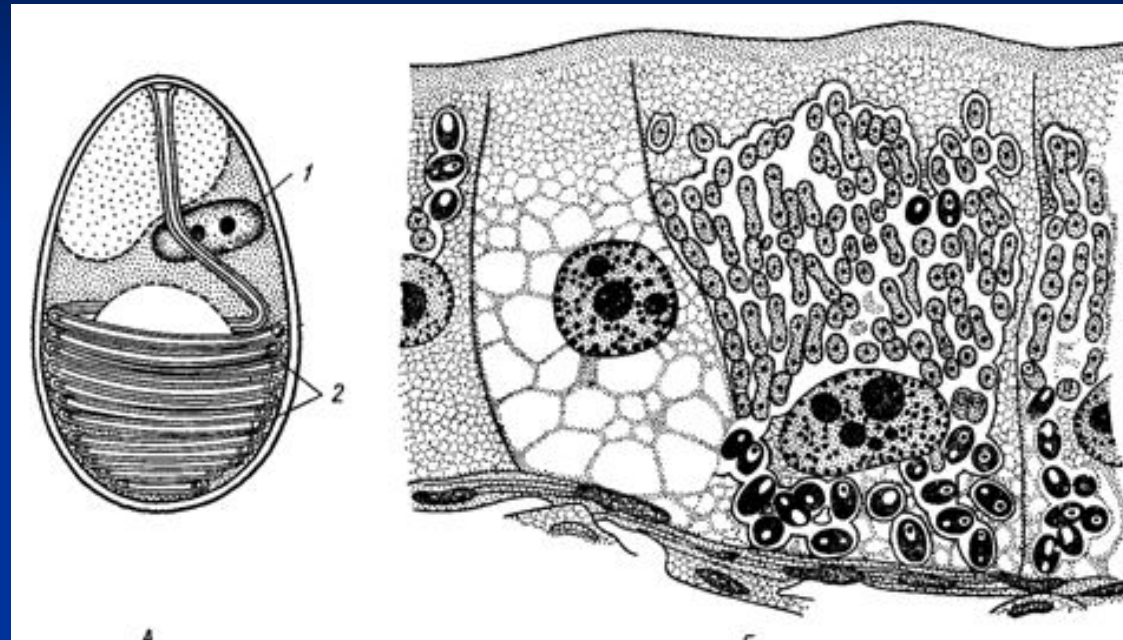
Споры разных видов миксоспоридий (из Шульмана). А — *Myxobolus karelicus* с выстрелянными стрекательными нитями со стороны створки; Б — то же, со стороны шва; В — *Myxidium obscurum*; Г — *Ceratomyxa obtusa*; Д — *Henneguya zikaweiensis*; Е — *Hexacapsula neothum* с невыстрелянными (сверху) и выстрелянными стрекательными нитями



Плазмодии разных видов миксоспоридий (из Шульмана). А — *Ortholinea divergens*; Б — *Chloromyxum leydigii*; В — *Sinuolina dimorpha*; Г — *Мyxoproteus caudatus*; Д — *Sphaerospora irregularis*; Е — *Leptotheca agilis*; Ж — *Ceratomyxa ramosa*; З — *Ceratomyxa drepanopsettae*; И — *Ceratomyxa appendiculata*; К — *Myxidium lieberkühni*

Тип Микроспоридии (Microsporida)

Внутриклеточные паразиты, вызывающие болезни полезных насекомых.



Микроспоридии. *А* — схема строения споры микроспоридий (по Лому с изменениями); *Б* — срез через эпителий кишечника шелковичного червя с шизонтами и спорами *Nosema bombycis* (по Штемпелю):

1 — ядро, 2 — нить

Тип Асцетоспоридии (Ascetospora)

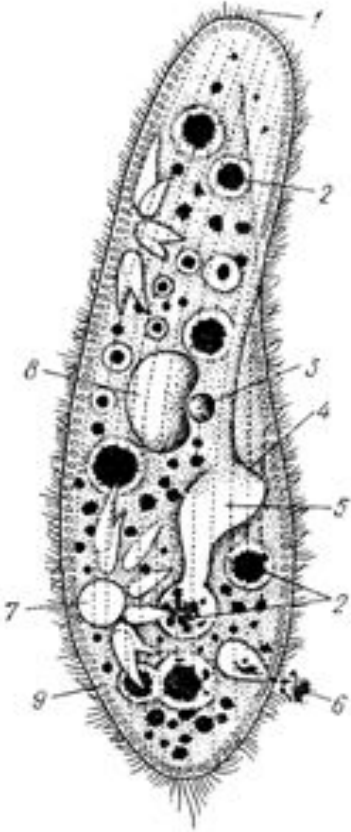
Паразитические простейшие морских моллюсков с многоклеточными спорами и многоядерным плазмодием.

Тип Лабиринтулы (Labyrinthomorpha)

Скопление множества клеток в единой цитоплазме – вариант переходных форм простейших к многоклеточности.

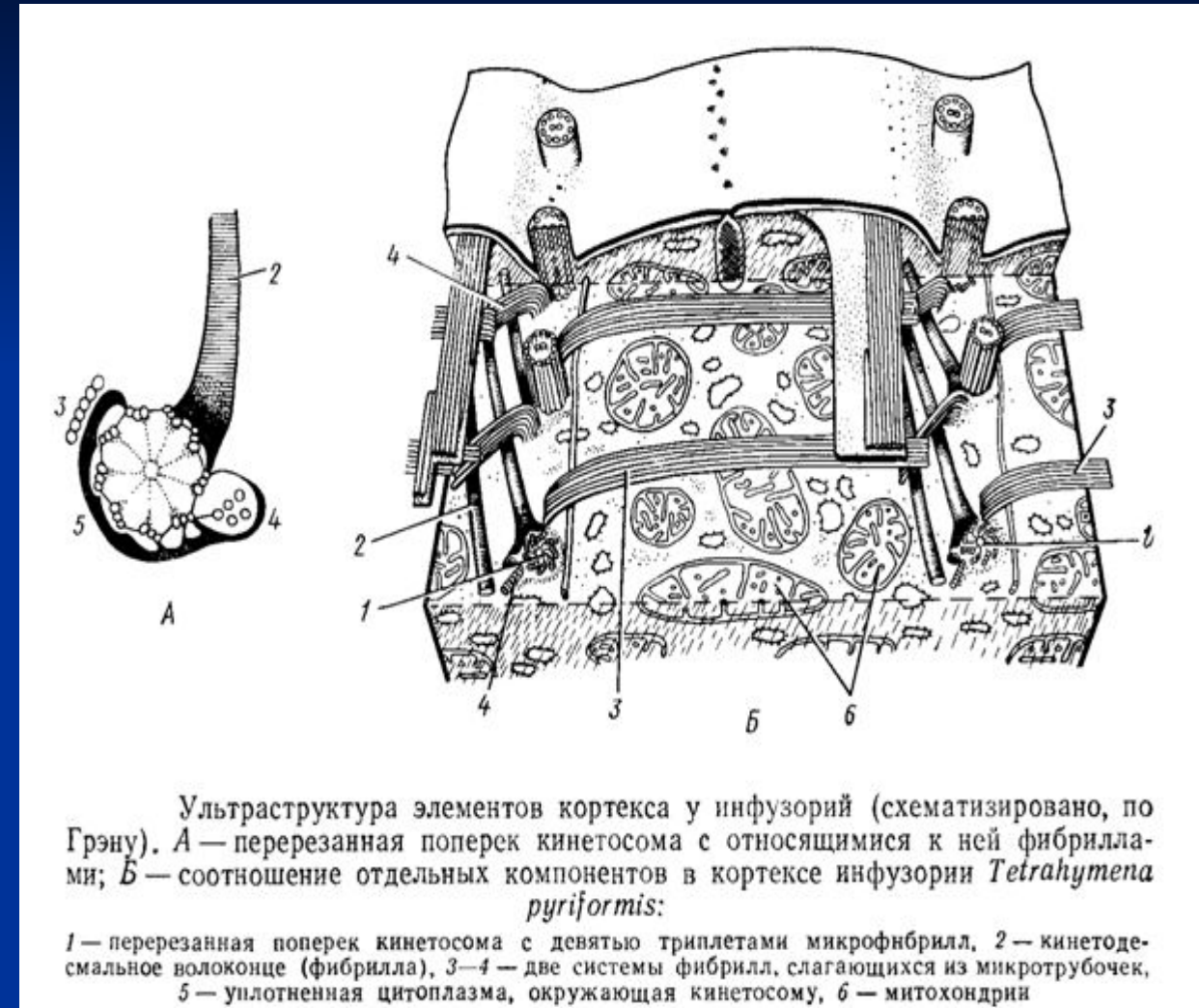
Тип Инфузории (Ciliophora)

Инфузории наиболее сложно организованные простейшие. Для них характерно умножение числа (полимеризация) одинаковых органелл и упорядочение их распределения, возникновение новых органелл и формирование «систем» органелл – путь усложнения организма-клетки. Размножение бесполое и половой процесс: копуляция, конъюгация.



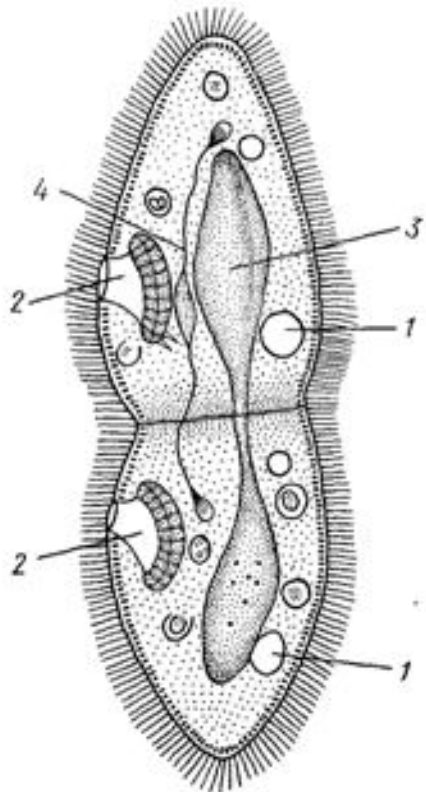
Инфузория туфелька *Paramecium caudatum* (по Полянскому и Стрелкову):

1 — реснички, 2 — пищеварительные вакуоли, 3 — микронуклеус, 4 — ротовое отверстие, 5 — глотка, 6 — пароксизма в момент выбрасывания непереваренных остатков пищи, 7 — сократительная вакуоль (центральный резервуар и радиально расположенные приводящие каналы), 8 — макронуклеус, 9 — трихоцисты



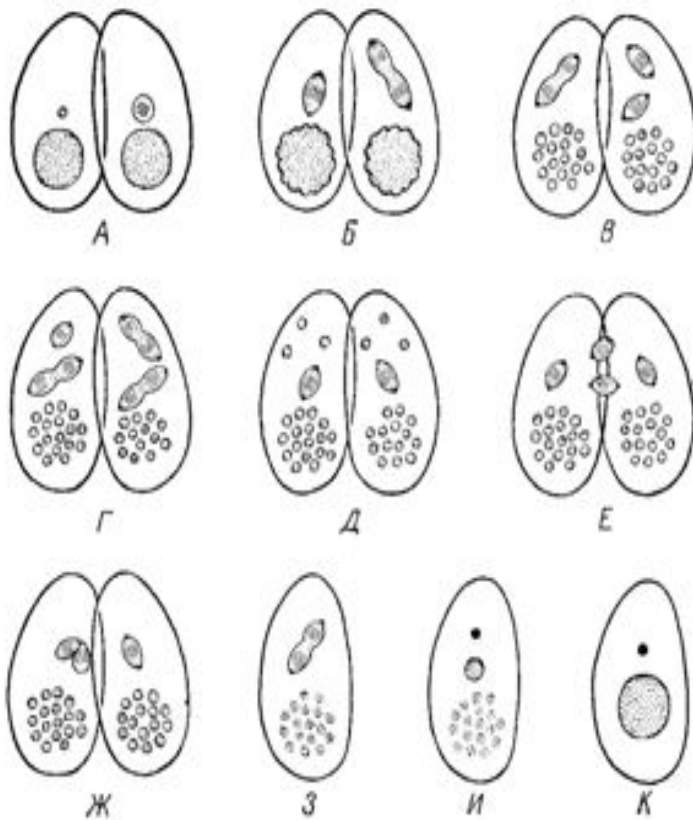
Ультраструктура элементов кортекса у инфузорий (схематизировано, по Грэну). А — перерезанная поперек кинетосома с относящимися к ней фибрillами; Б — соотношение отдельных компонентов в кортексе инфузории *Tetrahymena pyriformis*:

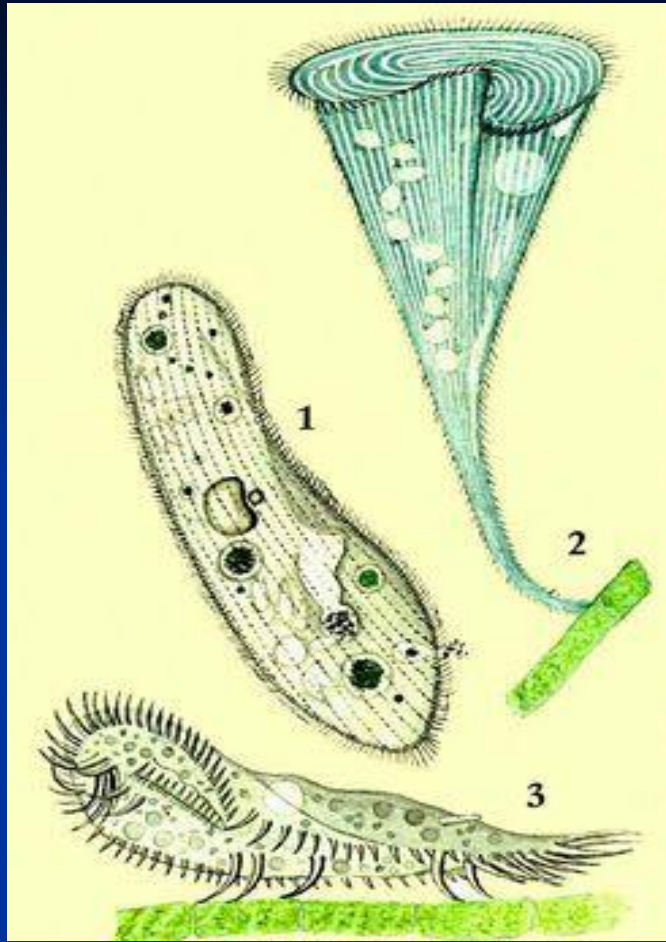
1 — перерезанная поперек кинетосома с девятью триплетами микрофибрилл, 2 — кинетодесмальное волоконце (фибрilla), 3—4 — две системы фибрилл, слагающихся из микротрубочек, 5 — уплотненная цитоплазма, окружающая кинетосому, 6 — митохондрии



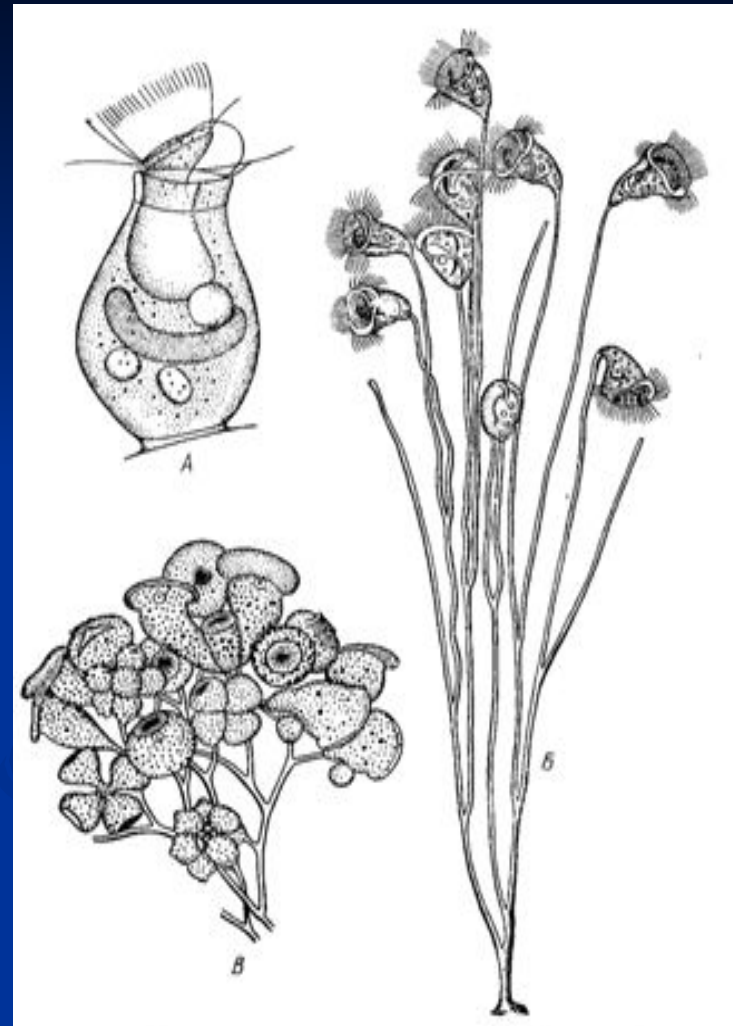
Делящаяся инфузория туфелька, схематично (по Лангу с изменениями):
1 — сократительная вакуоль, 2 — рот, 3 — делящийся макронуклеус, 4 — делящийся микронуклеус

Коньюгация инфузорий, схема (по Греллю с изменениями). *А* — начало коньюгации, в левой особи ядерный аппарат без изменений, в правой микронуклеус вздут; *Б* — первое мейотическое деление микронуклеуса, в левой особи метафаза, в правой — анафаза, начало распада макронуклеуса; *В* — в левом коньюганте окончание первого деления микронуклеуса, в правом — начало второго деления микронуклеуса, распад макронуклеуса; *Г* — второе деление микронуклеуса; *Д* — один микронуклеус в каждой особи приступает к третьему делению, по 3 микронуклеуса в каждом коньюганте дегенерируют; *Е* — обмен мигрирующими пронуклеусами; *Ж* — слияние пронуклеусов, образование синкариона; *З* — эксконьюгант, деление синкариона; *И* — эксконьюгант, начало превращения одного из продуктов деления синкариона в макронуклеус; *К* — эксконьюгант, развитие ядерного аппарата закончено, фрагменты старого макронуклеуса резорбированы в цитоплазме





Инфузории: 1 — туфелька (*Paramecium caudatum*);
2 — трубач (*Stentor coeruleus*);
3 — стилонихия (*Stylochonchia mytilus*).



Разные представители отряда кругогесничных инфузорий (Peritrichia) (из Дофлейна). А — *Pyxidium ventriosum*, не образующие колоний; Б — колония *Carchesium polypinum*; В — участок колонии *Campanella umbellaria*

M

Eumetazoa

E

Parazoa

T

Mesozoa

A

Dicyemida

Z

Производные фагоцителл 1,2 и 3

O

Orthonectida

P

оогенез,
R-гаметическая

Spongia

R

Многоклеточность на
одной стадии цикла

Placozoa

T

Колониальность

Колониальные Mastigophora

Z

Полиэнергидность

Myxosoa

O

полиплоидность

Mastigophora

P

диплоидность

Ciliophora

Z

Моноэнергидность

Opalinata

O

Типы организаций

Sarcodina

Apicomplexa

Саркодовый
(амебоидный)

Монадный
(жгутиконосный)

Первичные Sarcomastigophora

Гетеротрофные эукариоты

Уровни организаций и филогенетические связи одноклеточных животных Protozoa